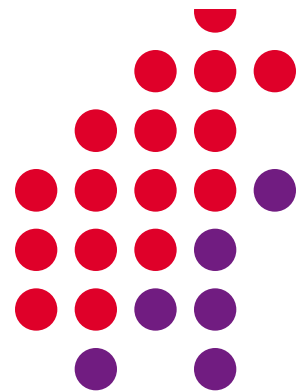




离散数学



电子科技大
学

计算机科学与工程
(网络空间安全)学院

2024年5月23日星期四

第四篇 图论

图论是一门很有实用价值的学科，它在**自然科学、社会科学**等各领域均有很多**应用**。自上世纪中叶以来，它受计算机科学蓬勃发展的刺激，发展极其迅速，应用范围不断拓广，已渗透到诸如**语言学、逻辑学、物理学、化学、电讯工程、计算机科学**以及**数学的其它分支**中。特别在计算机科学中，如**形式语言、数据结构、分布式系统、操作系统**等方面均扮演着重要的角色。

引言

1

七桥问题 欧拉

2

游戏、博弈问题

3

克希荷夫定律

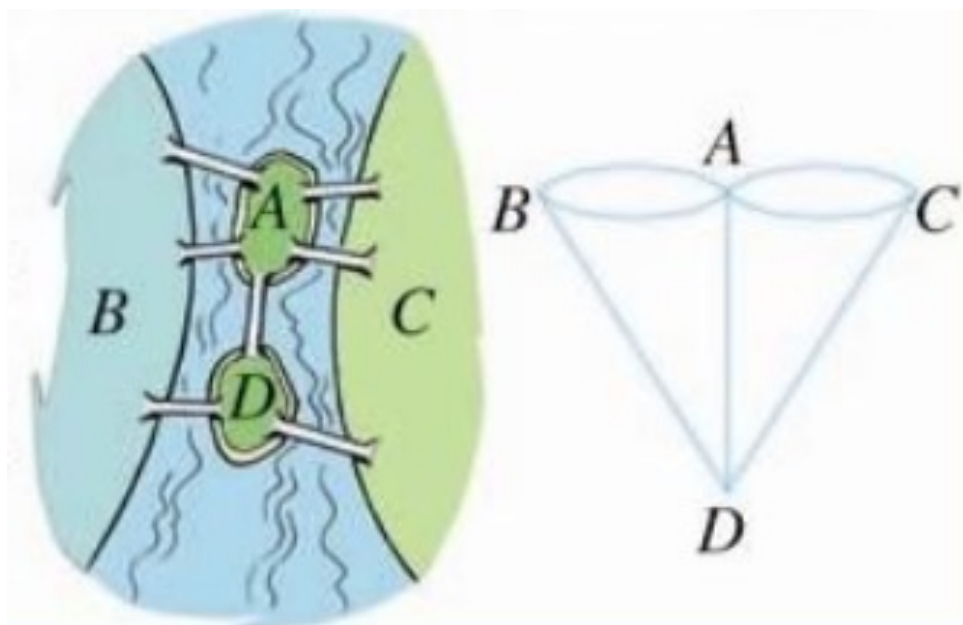
4

树 凯莱

5

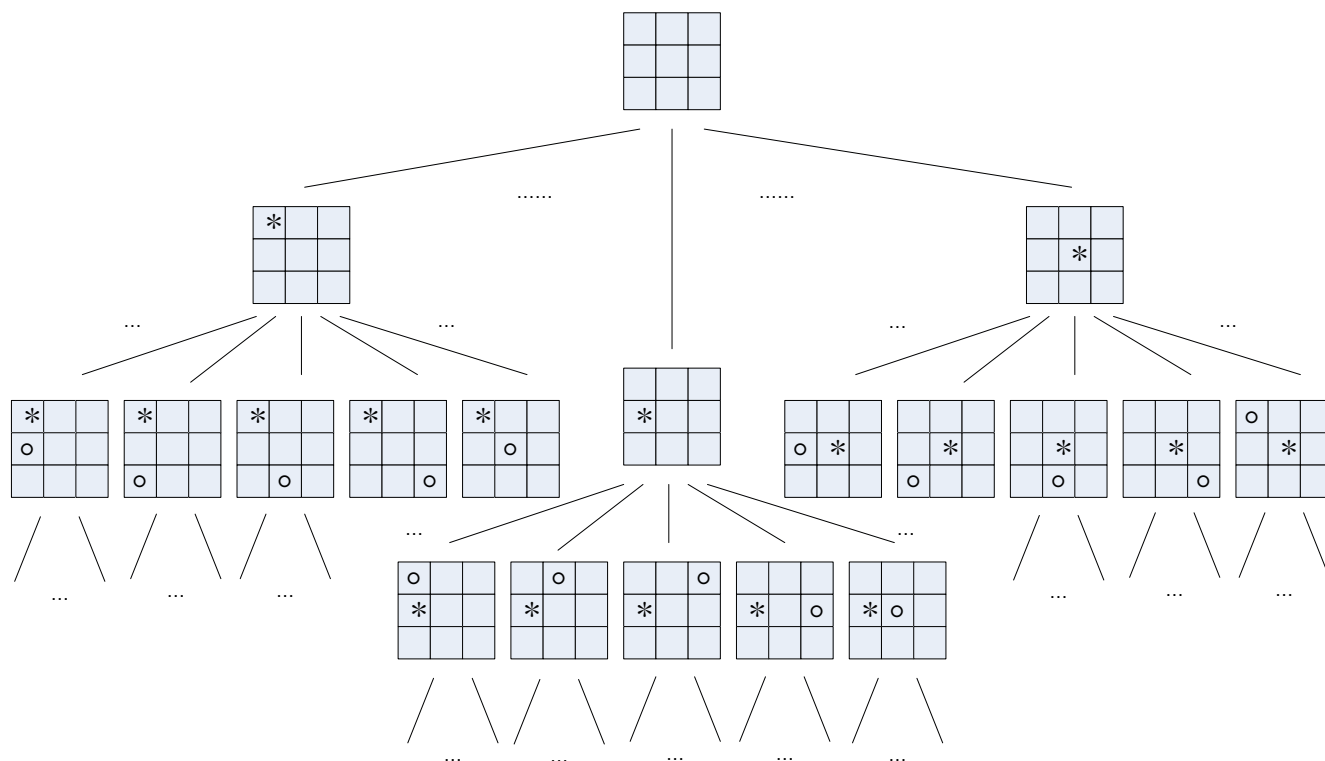
四色猜想

哥尼斯堡七桥问题和欧拉



博弈树问题

假设甲乙双方在进行二人棋盘游戏，从初始局面开始，甲乙双方交替走棋，局面的变化可以表示成一个树形结构，这就是博弈树（game-tree）。一种井字棋的博弈树，如图所示。



另一种博弈问题-囚徒的困境

■ 1950年，由就职于兰德公司的梅里尔·弗勒德（Merrill Flood）和梅尔文·德雷希尔（Melvin Dresher）拟定出相关困境的理论，后来由顾问艾伯特·塔克（Albert Tucker）以囚徒方式阐述，并命名为

■ “囚徒困境”
警方逮捕甲、乙两名嫌疑犯，但没有足够证据指控二人入罪。于是警方分开囚禁嫌疑犯，分别和二人见面，并向双方提供以下相同的选择：

- * 若一人认罪并作证检控对方，而对方保持沉默，此人将即时获释，沉默者将判监10年。
- * 若二人都保持沉默，则二人同样判监半年。
- * 若二人都互相检举，则二人同样判监2年。

四色猜想



教学目标

图是一类具有广泛**实际问题背景**的**数学模型**，有着极其丰富的内容，是数据结构等课程的先修内容。学习时应掌握好图论的**基本概念**、**基本方法**和**基本算法**，善于把**实际问题抽象**为**图论的问题**，然后用图论的方法去解决。

图论作为一个**数学分支**，有一套完整的体系和广泛的内容，本篇仅介绍图论的**初步知识**，其目的在于今后对计算机有关学科的学习和研究时，可以以图论的基本知识作为**工具**。

第9章 图

我们所讨论的图 (Graph) 与人们通常所熟悉的图, 例如圆、椭圆、函数图表等是很不相同的。图论中所谓的图是指某类具体离散事物集合和该集合中的每对事物间以某种方式相联系的数学模型。如果我们用点表示具体事物, 用连线表示一对具体事物之间的联系。那么, 一个图就是由一个表示具体事物的点的集合和表示事物之间联系的一些线的集合所构成, 至于点的位置和连线的长短曲直是无关紧要的。

9.0 内容提要

- 1 图的基本概念
- 2 图的表示、分类
- 3 图的性质
- 4 通路与回路
- 5 图的连通性
- 6 图的应用

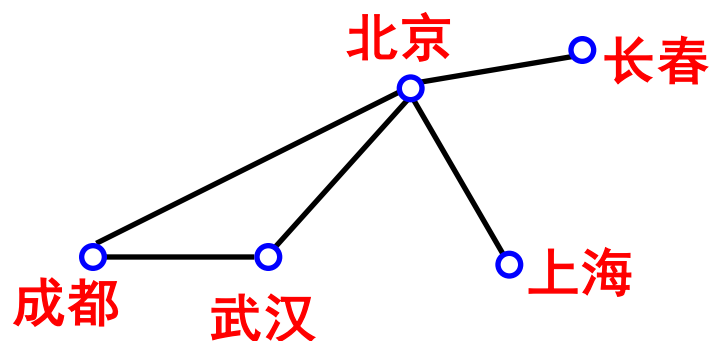
9.1 本章学习要求



9.2 图的基本概念

9.2.1 图的定义

例9.2.1 (1) 考虑一张航线地图，图中用点表示城市，当两个城市间有直达航班时，就用一条线将相应的点连接起来。这种航线地图的一部分如下图所示；



例9.2.1 (2)

板凳 [S3]Chiang-CM-佛山 楼主主题帖，或回复主题帖 40:46 回复

 LV5 占位来的..

 [S002]Lydie-金融-... (2016-01-05 10:22:22) 回复，所有的回复都是平行的 回复楼中楼也是平行关系

看看大家的认真回复，你好意思在这挂个占位么

 [S347]树先生-建... (2016-01-05 10:22:02) 回复

很优秀

 [S3]Chiang-CM-佛山... 回复 [S002]Lydie-金融-... (2016-01-06 11:54:31) 回复

好啦，占位那么久，终于来评论一下了。我们每一个人你都是这个世界的好奇宝宝，我们从来不曾对这个世界的事物失去好奇。好奇，好的，好奇有时候是我们进步的源动力之一。对于一个学习管理的人，对自我管理是一个最深刻且最持久的实践。学管理，我们需要统筹已有资源，考核自身优劣与外界的机遇挑战，进行合适的资源配置，

 [S3]Chiang-CM-佛山... 回复 [S3]Chiang-CM-佛山... (2016-01-06 11:54:49) 回复

【竟然只能240字...】把管理的思想应用到自己身上的时候，也是这样。把自己要做的事情先做完，做好。有时候是有很多事情想要去做，但是有时候，你要知道，为了你所爱做的事情，你需要忍耐，先把手上的事情做完。如果你真的很想去做一件事情，那么先忍耐一下。你有多爱，你就能有多忍耐。先评到这... 下周继续..

 [S002]Lydie-金融-... 回复 [S3]Chiang-CM-佛山... (2016-01-06 20:46:41) 回复

上面那段最后一句是在翻译SWOT么哈哈

收起回复

例9.2.1 (3)

```
<div id="post_9" class="mbm">...</div>
<div id="post_6">...</div>
<div id="post_9">
  <table id="pid9" summary="pid9" cellspacing="0"
    cellpadding="0">
    <tbody>
      <tr>
        <td class="pls">...</td>
        <td id="plc_9" class="plc postContent">
          <div class="post_top">
            <div class="topt fright">...</div>
            <p class="postinfo">
              <span class="postnum">板凳</span>
              <span class="gn rn" title="[S3]Chiang-CM-佛山、"
                [S3]Chiang-CM-佛山、</span>
              <span class="posttime" title="2016-01-01 01:40:46">2016-01-01 01:40:46</span>
            </p>
          </div>
          <div class="pct">
            <div class="pctmessage mbm xs2" style="display: none;">
              <div id="replyFloorList_9" class="replaylist">
                <div id="floorPre_9" style="display: none;">
                  <div id="floorList_9" style="display: none;">
                    <div class="replayitem cl">
                      <span>...</span>
                    </div>
                  </div>
                </div>
              </div>
            </div>
          </div>
        </td>
      </tr>
    </tbody>
  </table>
</div>
... div div #postlist div #post_9 #pid9 tbody tr #plc_9 div p span.gn.rn
```

他人主题回复

```
item = LinkItem()

# 他人的发帖
links = selector.xpath('//span[@class="gn "]/@title').extract()
for link in links:
    item['bname'] = link
    gid = re.findall(r'\d+', str(link))[0]
    item['aid'] = sid
    item['bid'] = gid

    yield item

# 他人的发帖
links = selector.xpath('//span[@class="gn rn"]/@title').extract()
for link in links:
    item['bname'] = link
    gid = re.findall(r'\d+', str(link))[0]
    item['aid'] = sid
    item['bid'] = gid

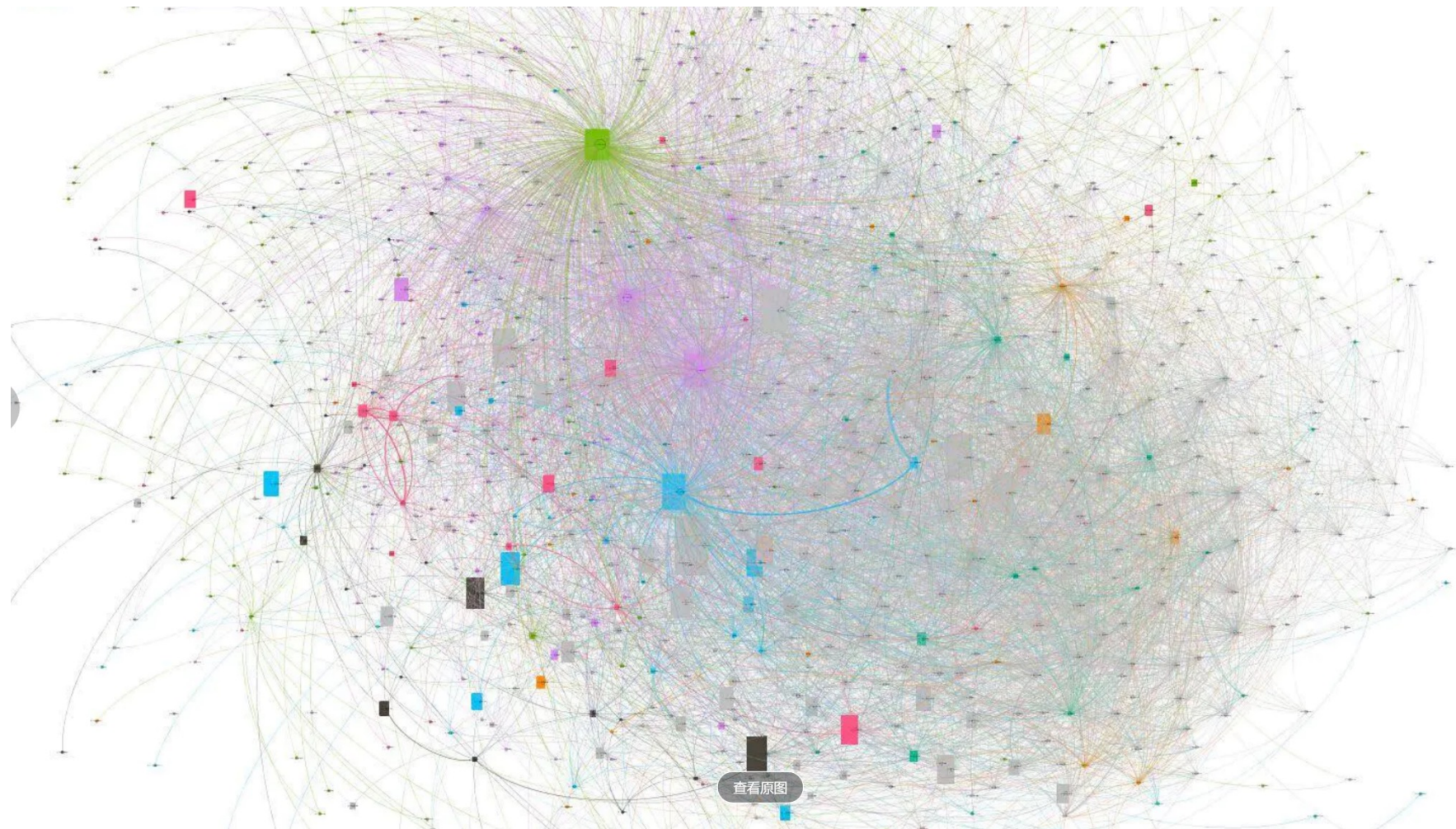
    yield item

# 他人的回复
links = selector.xpath('//div[@class="postinfo mbm ptn"]/@title').extract()
for link in links:
    item['bname'] = link
```

1 | select aid as source,bid as target,count(bid) as weight from bbs.link group by aid,bid

```
<span class="gn rn" title="[S3]Chiang-CM-佛山、
[S3]Chiang-CM-佛山、</span>
<span class="posttime" title="2016-01-01 01:40:46">2016-01-01 01:40:46</span>
</p>
</div>
<div class="pct">
  <div class="pctmessage mbm xs2" style="display: none;">
    <div id="replyFloorList_9" class="replaylist">
      <div id="floorPre_9" style="display: none;">
        <div id="floorList_9" style="display: none;">
          <div class="replayitem cl">
            <span>...</span>
          </div>
        </div>
      </div>
    </div>
  </div>
</div>
```

	A	B	C
8328	[S801]mai-通信-北京	[S756]amy-医疗卫生-	1
8329	[S801]mai-通信-北京	[S801]mai-通信-北京	55
8330	[S801]mai-通信-北京	[S814] babyer-工管-石	1
8331	[S801]mai-通信-北京	[S816]玲珑剔透-学生-	2
8332	[S803]Emily-外贸-深圳	[S756]amy-医疗卫生-	1
8333	[S803]Emily-外贸-深圳	[S803]Emily-外贸-深圳	1
8334	[S804] 追梦-英语翻译	[S756]amy-医疗卫生-	1
8335	[S804] 追梦-英语翻译	[S804] 追梦-英语翻译	2
8336	[S805]Cathy-教育-深圳	[704]Summers-留学/葡	1
8337	[S805]Cathy-教育-深圳	[S756]amy-医疗卫生-	1
8338	[S805]Cathy-教育-深圳	[S805]Cathy-教育-深圳	1
8339	[S806]乐默笙箫-教师-D	[S756]amy-医疗卫生-	1
8340	[S806]乐默笙箫-教师-D	[S806]乐默笙箫-教师-D	6
8341	[S807]我是胖猴子-教育	[S300]-贝姑娘-签证-J	1
8342	[S807]我是胖猴子-教育	[S756]amy-医疗卫生-	1
8343	[S807]我是胖猴子-教育	[S807]我是胖猴子-教育	1
8344	[S808]黄小样-服装辅料	[S756]amy-医疗卫生-	1
8345	[S808]黄小样-服装辅料	[S808]黄小样-服装辅料	2



基本思想

用图形表示一组对象，其中有些对象对是有联系的。当然，这几个图形也可以表示其它的含义。

对于这种图形，我们感兴趣的只是**有多少个点**和**哪些结点之间有线连接**，至于连线的长短曲直和结点的位置却无关紧要，只要求每一条线都起始于一个点，而终止于另一个点。

定义9.2.1

一个**图** (Graph) 是一个**序偶** $\langle V, E \rangle$, 记为 $G = \langle V, E \rangle$, 其中:

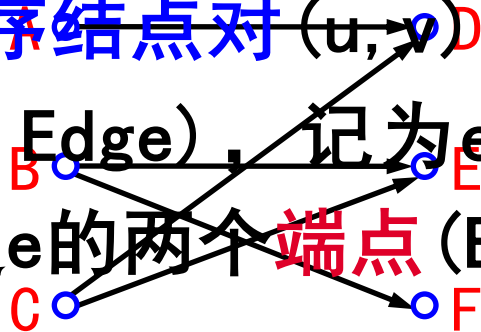
(1) $V = \{v_1, v_2, \dots, v_n\}$ 是**有限非空集合**, v_i 称为**结点** (Nodal Point), 简称**点** (Point), V 称为**结点集** (Nodal Set)。

(2) E 是**有限集合**, 称为**边集** (Frontier Set)。 E 中的每个元素都有 V 中的结点对与之对应, 称之为**边** (Edge)。

与边相关的几个概念

定义9.2.1中的结点对即可以是**无序的**，也可以是**有序的**。

若边 e 与**无序结点对** (u, v) 相对应，则称 e 为**无向边** (Undirected Edge)，记为 $e = (u, v) = (v, u)$ ，这时称 u 、 v 是边 e 的两个**端点** (End point)。



若边 e 与**有序结点对** $\langle u, v \rangle$ 相对应，则称 e 为**有向边** (Directed Point) (或**弧**)，记为 $e = \langle u, v \rangle$ ，这时称 u 为 e 的**始点** (Initial Point) (或**弧尾**)， v 为 e 的**终点** (terminal Point) (或**弧头**)，统称为 e 的**端点**。

9.2.2 图的表示

对于一个图 G ，如果将其记为 $G = \langle V, E \rangle$ ，并写出 V 和 E 的集合表示，这称为**图的集合表示**。

而为了描述简便起见，在一般情况下，往往只画出它的图形：用小圆圈表示 V 中的结点，用由 u 指向 v 的有向线段或曲线表示有向边 $\langle u, v \rangle$ ，无向线段或曲线表示无向边 (u, v) ，这称为**图的图形表示**。

例9.2.2

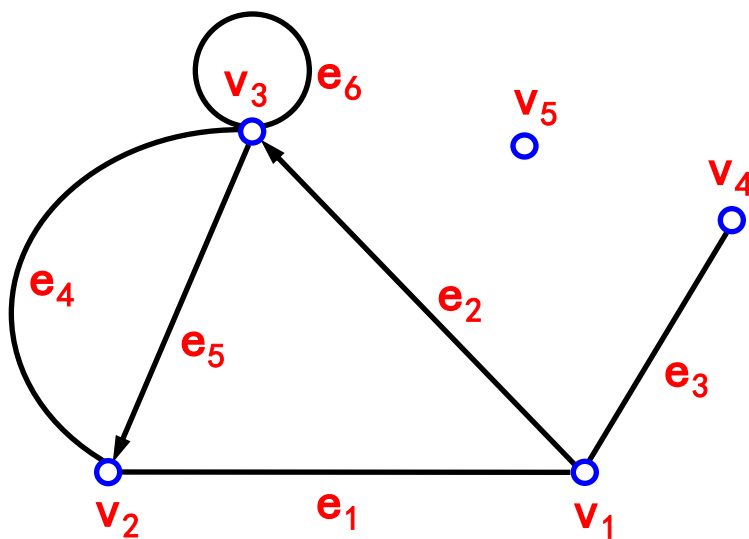
设图 $G = \langle V, E \rangle$ ，这里 $V = \{v_1, v_2, v_3, v_4, v_5\}$ ， $E = \{e_1, e_2, e_3, e_4, e_5, e_6\}$ ，其中 $e_1 = (v_1, v_2)$ ， $e_2 = \langle v_1, v_3 \rangle$ ， $e_3 = (v_1, v_4)$ ， $e_4 = (v_2, v_3)$ ， $e_5 = \langle v_3, v_2 \rangle$ ， $e_6 = (v_3, v_3)$ 。试画出图 G 的图形，并指出哪些是有向边，哪些是无向边？

例9.2.2 分析

分析 由于 V 中有5个结点，因此要用5个**小圆圈**分别表示这5个结点，点的具体摆放位置可随意放。而对 E 中的6条边，**圆括号括起的结点对表示无向边**，**直接用直线或曲线连接两个端点**，**尖括号括起的结点对表示有向边**，前一个是始点，后一个是终点，**用从始点指向终点的又向直线或曲线连接**。

例9.2.2 解

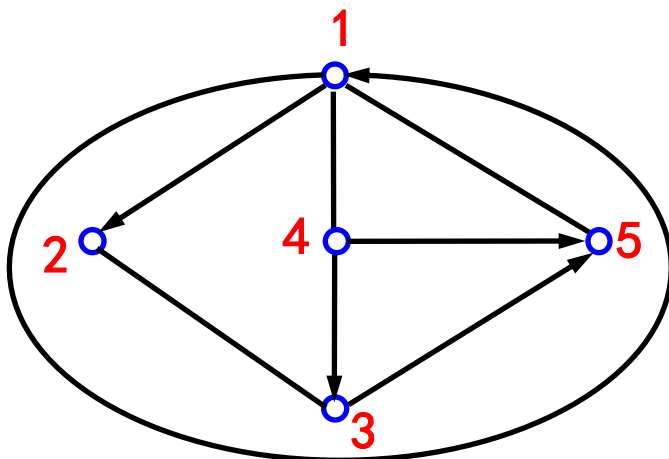
G 的图形如下图所示。



G 中的 e_1 、 e_3 、 e_4 、 e_6 是无向边， e_2 、 e_5 是有向边。

例9.2.3

设图 $G = \langle V, E \rangle$ 的图形如下图所示，试写出 G 的集合表示。



解析 图 G 的集合表示为 $G = \langle V, E \rangle$ ，其中 V 为结点集合，将连接结点对的直线或曲线用圆括号括起，该结点对表示无向边，将连接结点对的有向直线或曲线用尖括号括起该结点对表示有向边，这里箭头指向的结点放在后面。

两种描述方法的优缺点

- 用集合描述图的优点是精确，但抽象不易理解；
- 用图形表示图的优点是形象直观，但当图中的结点和边的数目较大时，使用这种方法是很不方便的，甚至是不可能的。

图的矩阵表示

我们在学习中常常需要分析图并在图上执行各种过程和算法，也许必须用计算机来执行这些算法，因此必须把图的结点和边传输给计算机，由于集合与图形都不适合计算机处理，所以要找到一种新的表示图的方法，这就是图的矩阵表示。

由于矩阵的行和列有固定的次序，因此在用矩阵表示图时，先要将图的结点进行排序，若不具体说明排序，则默认为书写集合 V 时结点的顺序。

定义9.2.2

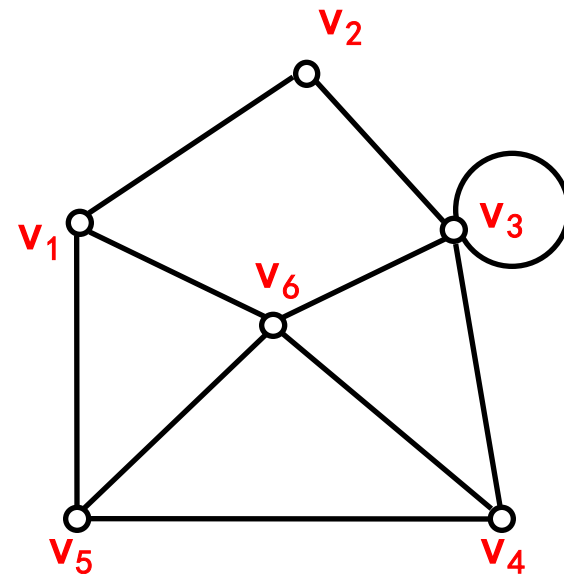
设图 $G = \langle V, E \rangle$ ，其中 $V = \{v_1, v_2, \dots, v_n\}$ ，并假定结点已经有了从 v_1 到 v_n 的次序，则 n 阶方阵 $A_G = (a_{ij})_{n \times n}$ 称为 G 的邻接矩阵 (Adjacency Matrix)，其中

$$a_{ij} = \begin{cases} 1, & \text{若 } (v_i, v_j) \in E \text{ 或 } \langle v_i, v_j \rangle \in E \\ 0, & \text{否则} \end{cases} \quad i, j = 1, 2, 3, \dots, n$$

例9.2.4

试写出下图所示图G的邻接矩阵。

解析 若按先排图中6个结点排序则
然按邻接矩阵定义9.2.2写出其邻接矩阵。
初学时可先在矩阵的行与列前分别
按结点排序标上结点，若第1行前的
结点到第j列前的结点有边相连，则
在邻接矩阵的第1行第j列元素为1，
否则为0。若结点排序为
 $v_1 v_2 v_3 v_4 v_5 v_6$ ，则可标记如下



说明

由定义9.2.2可看出，图 $G = \langle V, E \rangle$ 的邻接矩阵依赖于 V 中元素的次序。对于 V 中各元素不同的排序，可得到同一图 G 的不同邻接矩阵。但是， G 的任何一个邻接矩阵可以从 G 的另一邻接矩阵中通过交换某些行和相应的列而得到，其交换过程与将一个排序中的结点交换位置变为另一个排序是一致的。如果我们略去由结点排序不同而引起的邻接矩阵的不同，则图与邻接矩阵之间是一一对应的。因此，我们略去这种由于 V 中元素的次序而引起的邻接矩阵的任意性，只选 V 中元素的任一种次序所得出的邻接矩阵，作为图 G 的邻接矩阵。

例

图中的结点重排次序为
 $V_5V_2V_1V_3V_6V_4$ ，得另一个邻
接矩阵

$$A_{1G} = \begin{pmatrix} 0 & 0 & 1 & 0 & 1 & 1 \\ 0 & 0 & 1 & 1 & 0 & 0 \\ 1 & 1 & 0 & 0 & 1 & 0 \\ 0 & 1 & 0 & 1 & 1 & 1 \\ 1 & 0 & 1 & 1 & 0 & 1 \\ 1 & 0 & 0 & 1 & 1 & 0 \end{pmatrix}$$

在邻接矩阵 A_{1G} 中，如果先交换第1、3行，而后交换第1、3列；接着交换第3、4行，再交换第3、4列；接着交换第5、6行，再交换第5、6列；接着交换第4、5行，再交换第4、5列。那么就能由邻接矩阵 A_{1G} 得到邻接矩阵 A_G 。

9.2.3 图的操作

定义9.2.3 设图 $G = \langle V, E \rangle$ 。

1. 设 $e \in E$ ，用 $G-e$ 表示从 G 中去掉边 e 得到的图，称为**删除边 e** 。又设 $E' \subseteq E$ ，用 $G-E'$ 表示从 G 中删除 E' 中所有边得到的图，称为**删除 E'** 。
2. 设 $v \in V$ ，用 $G-v$ 表示从 G 中去掉结点 v 及 v 关联的所有边得到的图，称为**删除结点 v** 。又设 $V' \subset V$ ，用 $G-V'$ 表示从 G 中删除 V' 中所有结点及关联的所有边得到的图，称为**删除 V'** 。

定义9.2.3 (续)

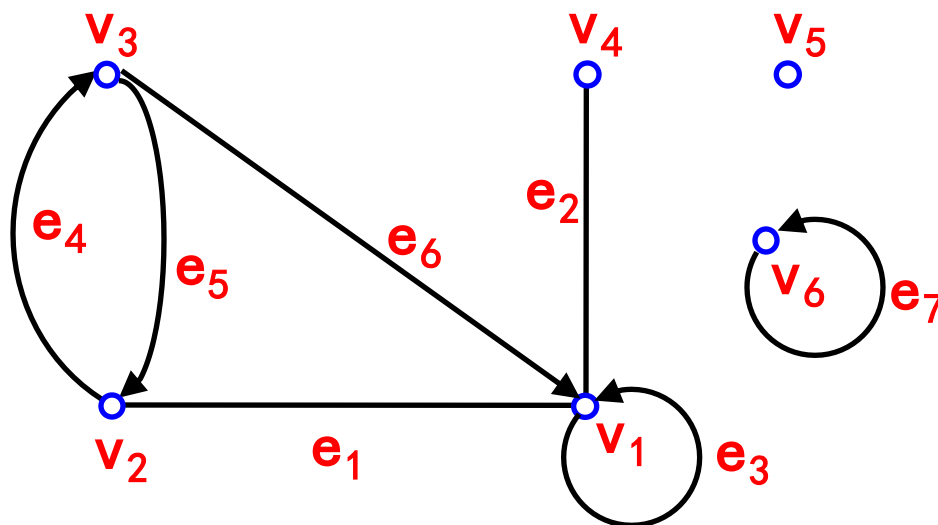
3. 设 $e = (u, v) \in E$, 用 $G \setminus e$ 表示从 G 中删除 e , 将 e 的两个端点 u, v 用一个新的结点 w 代替, 使 w 关联除 e 外的 u 和 v 关联的一切边, 称为**边 e 的收缩**。一个图 G 可以收缩为图 H , 是指 H 可以从 G 经过若干次边的收缩而得到。
4. 设 $u, v \in V$ (u, v 可能相邻, 也可能不相邻), 用 $G \cup (u, v)$ 表示在 u, v 之间加一条边 (u, v) , 称为**加新边**。

9.2.4 邻接点与邻接边

定义9.2.4 在图 $G = \langle V, E \rangle$ 中, 若两个结点 v_i 和 v_j 是边 e 的端点, 则称 v_i 与 v_j 互为邻接点 (Adjacent Point), 否则 v_i 与 v_j 称为不邻接的; 具有公共结点的两条边称为邻接边 (Adjacent Edge); 两个端点相同的边称为环 (Ring) 或自回路 (Self-Loop); 图中不与任何结点相邻接的结点称为孤立结点 (Isolated Point); 仅由孤立结点组成的图称为零图 (Null Graph) 仅含一个结点的零图称为平凡图 (Trivial Graph); 含有 n 个结点, m 条边的图, 称为 (n, m) 图。

例9.2.5

试写出下图所示图G的所有结点的邻接点、所有边的邻接边，并指出所有的孤立结点和环。



例9.2.5 分析

根据定义9.2.4，如果两个结点间有边相连，那么它们互为邻接点；如果两条边有公共结点，那么它们互为邻接边。需要注意的是，只要当一个结点处有环时，它才是自己的邻接点；由于一条边有两个端点，在计算邻接边时要把这两个端点都算上，例如 e_2 和 e_4 都是 e_1 的邻接边。所有边都是自己的邻接边。



例9. 2. 5 解

图G所有结点的邻接点和孤立结点，所有边的邻接边和环如下表所示图G既不是平凡图，也不是零图，而是一个(6, 7)图。

结点	邻接点	是否孤立结点	边	邻接边	是否环
v_1	V_1, v_2, v_3, v_4	否	e_1	$E_1, e_2, e_3, e_4, e_5, e_6$	否
v_2	v_1, v_3	否	e_2	e_1, e_2, e_3, e_6	否
v_3	v_1, v_2	否	e_3	e_1, e_2, e_3, e_6	是
v_4	v_1	否	e_4	e_1, e_4, e_5, e_6	否
v_5		是	e_5	e_1, e_4, e_5, e_6	否
v_6	v_6	否	e_6	$e_1, e_2, e_3, e_4, e_5, e_6$	否
			e_7	e_7	是

9.2.5 图的分类

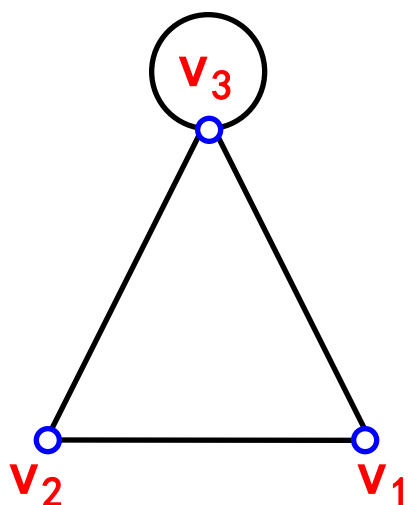
1. 按边有无方向分类

定义9.2.5 每条边都是**无向边**的图称为**无向图** (Undirected Graph)；每条边都是**有向边**的图称为**有向图** (Directed Graph)；有些边是**无向边**，而另一些边是**有向边**的图称为**混合图** (Mixed Graph)。

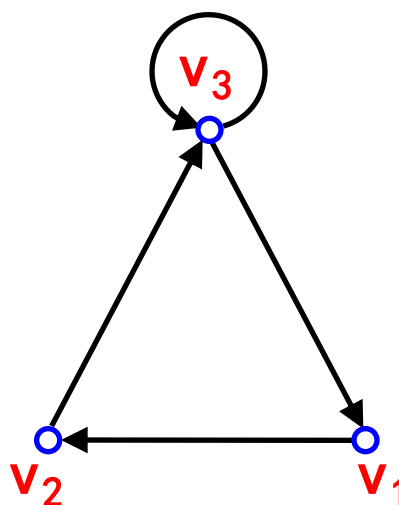
第6章的关系图都是有向图，这时邻接矩阵就是关系矩阵。

例9.2.6

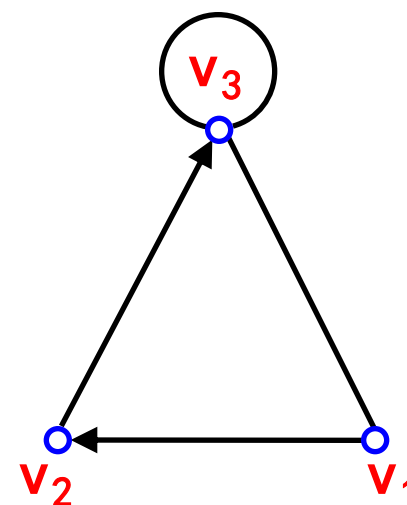
试判断下图所示的三个图是无向图、有向图，还是混合图？



G_1



G_2

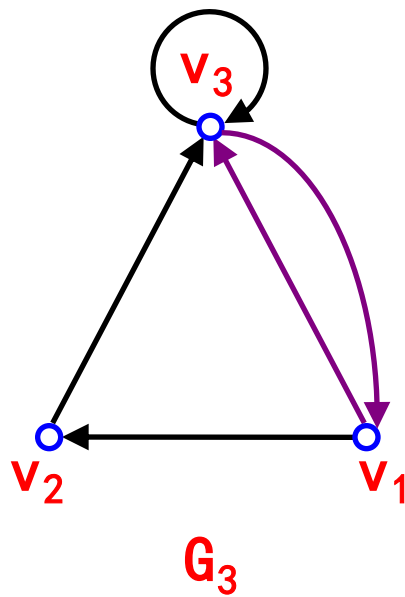


G_3

分析 判断无向图、有向图和混合图，仅仅看边有无方向就行了。
解 G_1 为无向图， G_2 为有向图， G_3 为混合图。

说明

我们仅讨论无向图和有向图，至于混合图，我们可将其中的无向边看成方向相反的两条有向边，从而转化为有向图来研究。例如可将图 G_3 转化为下图。

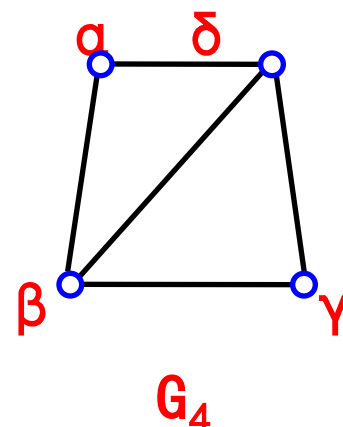
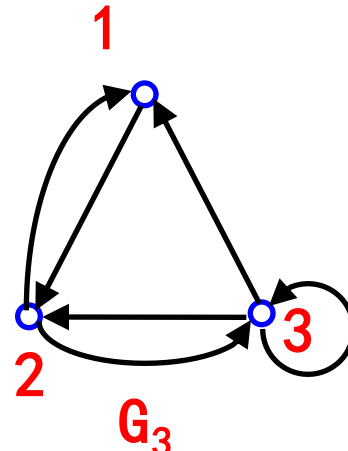
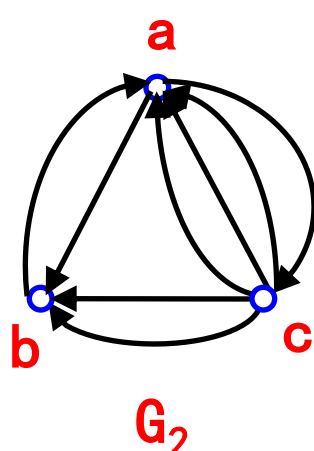
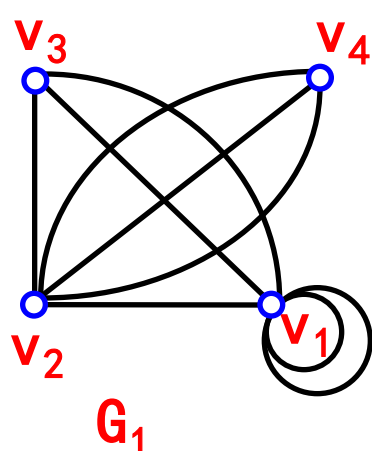


2. 按有无平行边分类

定义9.2.6 在有向图中，两结点间（包括结点自身间）若有**同始点和同终点**的几条边，则这几条边称为**平行边** (Parallel Edge)；在无向图中，两结点间（包括结点自身间）若有几条边，则这几条边称为**平行边**。两结点 a 、 b 间相互**平行的边的条数**称为边 (a, b) 或 $\langle a, b \rangle$ 的**重数** (Repeated Number)。含有平行边的图称为**多重图** (Multigraph)；非多重图称为**线图** (Line Graph)；无环的线图称为**简单图** (Simple Graph)。

例9.2.7

试判断下图所示的4个图是多重图、线图，还是简单图？并指出多重图中所有平行边的重数。



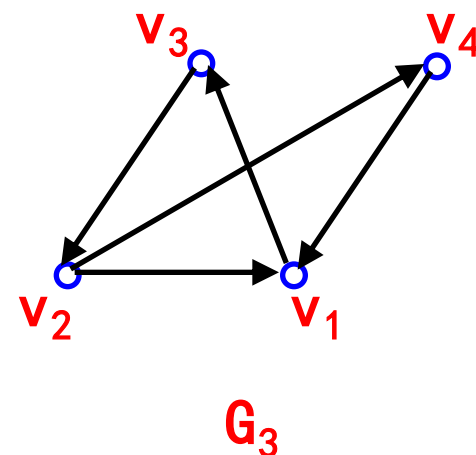
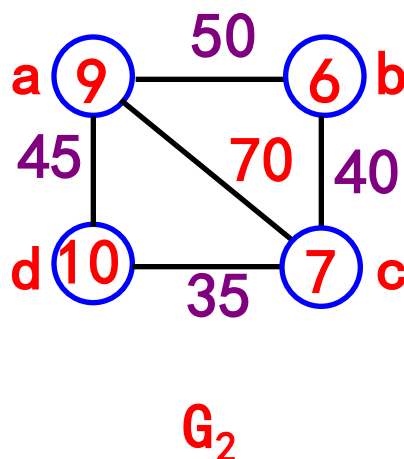
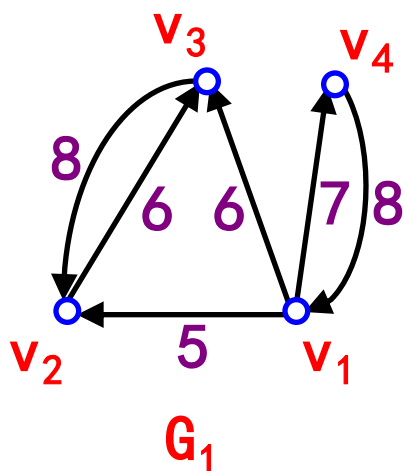
解 G_1 是多重图， G_2 是线图， G_3 是线图， G_4 是简单图。 G_1 中平行边的重数： $\langle v_2, v_3 \rangle$ 的重数为 2， $\langle v_2, v_4 \rangle$ 的重数为 2。其他边都是单边。 G_2 中平行边的重数： $\langle a, b \rangle$ 的重数为 2， $\langle a, c \rangle$ 的重数为 2。其他边都是单边。 G_3 中平行边的重数： $\langle 1, 2 \rangle$ 的重数为 2， $\langle 1, 3 \rangle$ 的重数为 2。其他边都是单边。 G_4 中平行边的重数： $\langle \alpha, \beta \rangle$ 的重数为 2， $\langle \alpha, \gamma \rangle$ 的重数为 2。其他边都是单边。

3. 按边或结点是否含权分类

定义9.2.7 赋权图 (Weight Graph) G 是一个**三重组** $\langle V, E, g \rangle$ 或**四重组** $\langle V, E, f, g \rangle$, 其中 V 是结点集合, E 是边的集合, f 是从 V 到非负实数集合的**函数**, g 是从 E 到非负实数集合的**函数**。

例9.2.8

下图所示的图哪个是赋权图，哪个是无权图？是赋权图的请写出相应的函数。



例9.2.8 解

在图中, 每条边都赋予非负实数值, 或者每条边和每个结点都赋予非负实数值的图就是赋权图。图 G_1 的每条边都赋予了非负实数值, 因此图 G_1 是赋权图。图 G_2 的每条边和每个结点都赋予了非负实数值, 因此图 G_2 是赋权图。而图 G_3 的边没有赋予非负实数值, 因此图 G_3 不是赋权图。

$$g_1(\langle v_3, v_2 \rangle) = 8, \quad g_1(\langle v_4, v_1 \rangle) = 8。$$

$$f_2(a) = 9, \quad f_2(b) = 6, \quad f_2(c) = 7, \quad f_2(d) = 10;$$

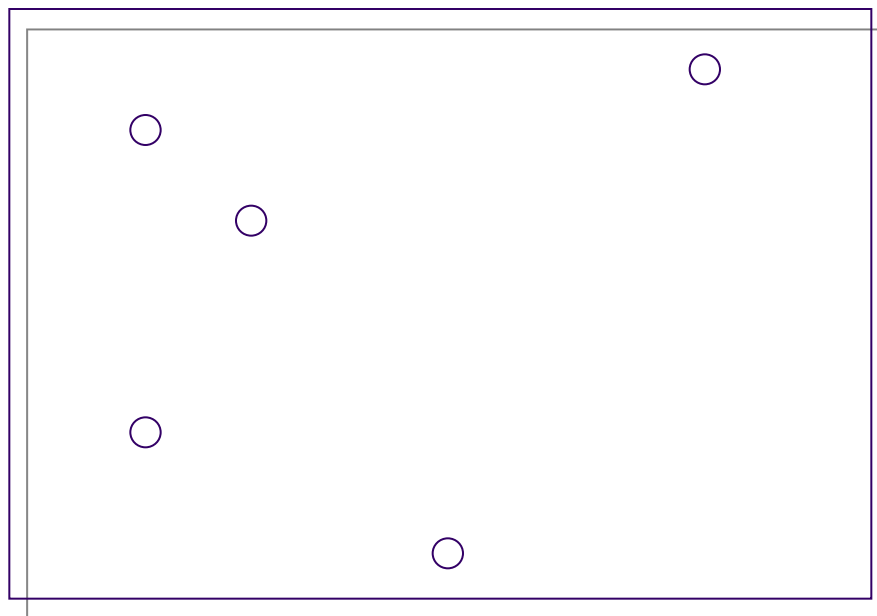
$$g_2((a, b)) = 50, \quad g_2((a, c)) = 70,$$

$$g_2((a, d)) = 45, \quad g_2((b, d)) = 40,$$

$$g_2((c, d)) = 35,$$

赋权图的一个应用

制造加工业中的钻孔路径



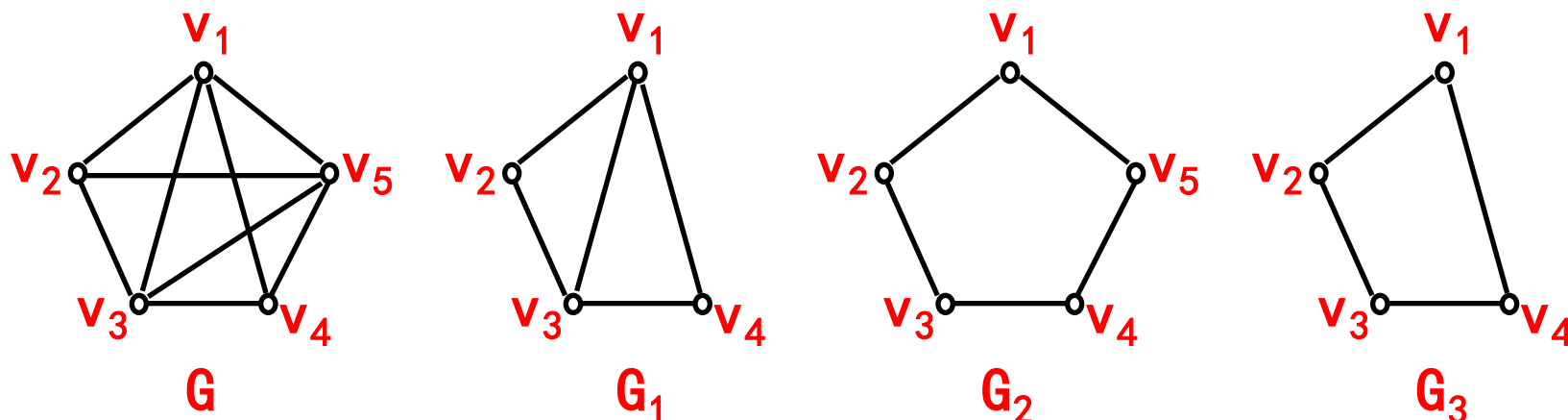
带螺孔钉的金属板

9.2.6 子图与补图

定义9.2.8 设有图 $G = \langle V, E \rangle$ 和图 $G_1 = \langle V_1, E_1 \rangle$ 。

1. 若 $V_1 \subseteq V$, $E_1 \subseteq E$, 则称 G_1 是 G 的**子图** (Subgraph), 记为 $G_1 \subseteq G$ 。
2. 若 $G_1 \subseteq G$, 且 $G_1 \neq G$ (即 $V_1 \subset V$ 或 $E_1 \subset E$), 则称 G_1 是 G 的**真子图** (Proper Subgraph), 记为 $G_1 \subset G$ 。
3. 若 $V_1 = V$, $E_1 \subseteq E$, 则称 G_1 是 G 的**生成子图** (Spanning Subgraph)。
4. 设 $V_2 \subseteq V$ 且 $V_2 \neq \emptyset$, 以 V_2 为结点集, 以两个端点均在 V_2 中的边的全体为边集的 G 的子图, 称为 V_2 导出的 G 的子图, 简称 V_2 的**导出子图** (Induced Subgraph)。

例9.2.9



分析 下图中, 子图 G_1 、 G_2 和 G_3 是否是图 G 的导出子图, 需要判断 G_1 、 G_2 和 G_3 是否是图 G 的子图、真子图, G_1 是图 G 的导出子图, G_2 和 G_3 都不是图 G 的导出子图。因此答案如下:

解 由图 G 导出子图 G_1 、 G_2 和 G_3 都是图 G 的子图、真子图, 只有 G_1 是图 G 的导出子图。由于导出子图要求 G 中两个端点都在 G_1 中且边都在 G_1 中, 因此仅有 G_1 是 G 的导出子图。

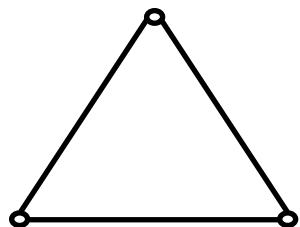
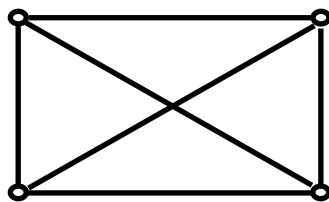
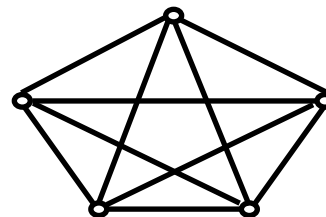
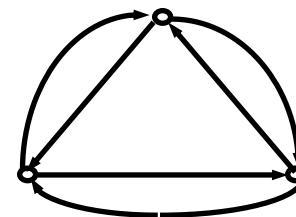
定义9.2.9

设 $G = \langle V, E \rangle$ 为一个具有 n 个结点的无向简单图，如果 G 中任意两个结点间都有边相连，则称 G 为无向完全图 (Undirected Complete Graph)，简称 G 为完全图 (Complete Graph)，记为 K_n 。

设 $G = \langle V, E \rangle$ 为一个具有 n 个结点的有向简单图，如果 G 中任意两个结点间都有两条方向相反的有向边相连，则称 G 为有向完全图 (directed Complete Graph)，在不发生误解的情况下，也记为 K_n 。

对于完全图来说，其邻接矩阵除主对角元为 0 外，其它元素均为 1。

例

 K_3  K_4  K_5  K_3

无向完全图 K_n 的边数为 $C(n, 2) = \frac{1}{2}n(n-1)$

有向完全图 K_n 的边数为 $P(n, 2) = n(n-1)$

定义9.2.10

设 $G = \langle V, E \rangle$ 为简单图, $G' = \langle V, E_1 \rangle$ 为完全图, 则称 $G_1 = \langle V, E_1 - E \rangle$ 为 G 的 **补图** (Complement of Graph), 记为 \bar{G}

注 在定义9.2.10中, 当 G 为有向图时, 则 G' 为有向完全图; 当 G 为无向图时, 则 G' 为无向完全图。

G 的补图也可理解为从结点集 V 的完全图中删除 G 中的边剩下的图, 即 G 与其补图的结点集是相同的, 边集是相对于完全图的边集为全集的补集。

显然, 若 $G_1 = \bar{G}$, 则 $G = \bar{G_1}$, 即它们互为补图。

9.2.7 结点的度数与握手定理

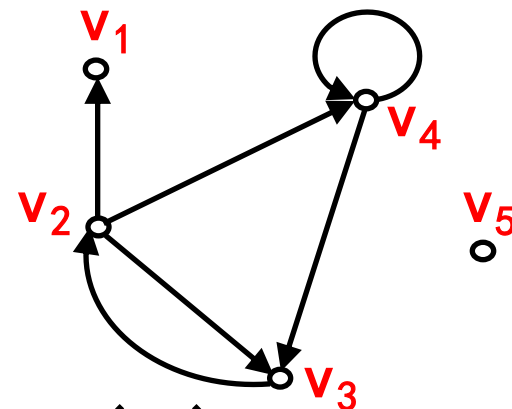
定义9.2.11 (1) 图 $G = \langle V, E \rangle$ 中以结点 $v \in V$ 为端点的边数(有环时计算两次)称为结点 v 的**度数**(Degree), 简称**度**, 记为 $\deg(v)$ 。

(2) 有向图 $G = \langle V, E \rangle$ 中以结点 v 为**始点的边数**称为 v 的**出度**(Out-Degree), 记为 $\deg^+(v)$; 以结点 v 为**终点的边数**称为 v 的**入度**(In-Degree), 记为 $\deg^-(v)$ 。显然, $\deg(v) = \deg^+(v) + \deg^-(v)$ 。

(3) 对于图 $G = \langle V, E \rangle$, **度数为1**的结点称为**悬挂结点**(Hanging Point), 以悬挂结点为端点的边称为**悬挂边**(Hanging Edge)。

例9.2.12

求右图中所有结点的度数、出度和入度，指出悬挂结点和为悬挂边。



解 分析 求结点的度数非常简单，只需要数一下以该结点为端点的边数，出度只需要数一下以其为始点的边数，入度只需要数一下以其为终点的边数，无向环算2度，有向环出度和入度各算1度。只有度数为1的才是悬挂结点，以悬挂结点为端点的边才是悬挂边。

$\deg(v_1) = 1, \deg^+(v_1) = 0, \deg^-(v_1) = 1$
 $\deg(v_2) = 4, \deg^+(v_2) = 3, \deg^-(v_2) = 1$
 $\deg(v_3) = 2, \deg^+(v_3) = 1, \deg^-(v_3) = 1$
 $\deg(v_4) = 4, \deg^+(v_4) = 1, \deg^-(v_4) = 3$
 $\deg(v_5) = 0, \deg^+(v_5) = 0, \deg^-(v_5) = 0$

v_1 为悬挂结点， $\langle v_2, v_1 \rangle$ 为悬挂边。

利用邻接矩阵描述

设图 $G = \langle V, E \rangle$, $V = \{v_1, v_2, \dots, v_n\}$ 的邻接矩阵为

$$A = \begin{pmatrix} a_{11} & a_{12} & \dots & a_{1n} \\ a_{21} & a_{22} & \dots & a_{2n} \\ \dots & \dots & \dots & \dots \\ a_{n1} & a_{n2} & \dots & a_{nn} \end{pmatrix}$$

若 G 是无向图, 则 A 中第 i 行元素是由结点 v_i 所关联的边所决定, 其中为 1 的元素数目等于 v_i 的度数, 即,

$$\deg(v_i) = \sum_{k=1}^n a_{ik} + a_{ii}$$

$$\deg(v_i) = \sum_{k=1}^n a_{ki} + a_{ii}$$

利用邻接矩阵描述

若G是有向图，则A中第i行元素是由结点 v_i 为始点的边所决定，其中为1的元素数目等于 v_i 的出度，即

$$\deg^+(v_i) = \sum_{k=1}^n a_{ik}$$

A中第i列元素是由结点 v_i 为终点的边所决定，其中为1的元素数目等于 v_i 的入度，即。

$$\deg^-(v_i) = \sum_{k=1}^n a_{ki}$$

定理9.2.1 (握手定理)

图中结点度数的总和等于边数的二倍，即设图 $G = \langle V, E \rangle$ ，则有

$$\sum_{v \in V} \deg(v) = 2|E|$$

证明 这定理最早是由瑞士数学家欧拉在1736年最先给出的。就欧拉来说，他是在研究七桥问题时，发现一个图论的基本定理。如果许多人在见面时握了手，两只手握在一起，被握过手的总次数为偶数。故此定理称为**图论的基本定理**或**握手定理**。

推论9.2.1

图中度数为奇数的结点个数为偶数。

证明 设图 $G=(V, E)$ 中 $|E|$ 为偶数。奇数个奇度数为奇数，偶数个奇度数为偶数。且 $\deg(v)$ 为偶数， $\deg(v)$ 为奇数之和为偶数。度数为偶数的结点为偶度

数。结点 $V_1 \cup V_2 = V$ ，于是

$$\sum_{v \in V} \deg(v) = \sum_{v \in V_1} \deg(v) + \sum_{v \in V_2} \deg(v) = 2|E|,$$

式中 $2|E|$ 和 $\sum_{v \in V_2} \deg(v)$ (偶数之和为偶数) 均为偶数，

因而 $\sum_{v \in V_1} \deg(v)$ 也为偶数。于是 $|V_1|$ 为偶数，即度

数为奇数的结点个数为偶数。

定理9.2.2

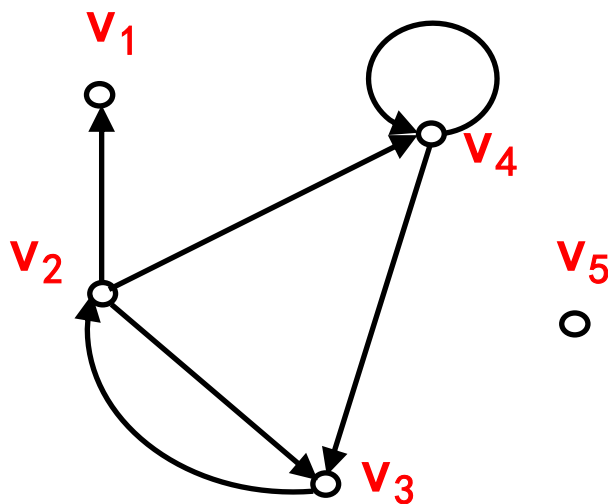
有向图中各结点的出度之和等于各结点的入度之和，等于边数，即设有向图 $G = \langle V, E \rangle$ ，则有

$$\sum_{v \in V} \deg^+(v) = \sum_{v \in V} \deg^-(v) = |E|$$

证明分析 因为每条有向边，具有一个始点（环的始点和终点是同一个结点），因此，每条有向边对应一个出度和一个入度。图 G 中有 $|E|$ 条有向边，则 G 中必产生 $|E|$ 个出度，这 $|E|$ 个出度即为各结点的出度之和， G 中也必产生 $|E|$ 个入度，这 $|E|$ 个入度即为各结点的入度之和。因而，在有向图中，各结点的出度之和等于各结点的入度之和，都等于边数 $|E|$ 。

定义9.2.12

设 $V = \{v_1, v_2, \dots, v_n\}$ 为图 G 的结点集，称 $(\deg(v_1), \deg(v_2), \dots, \deg(v_n))$ 为 G 的**度数序列** (Degree Sequence)。



上图的度数序列为 $(1, 4, 3, 4, 0)$ 。

例9.2.14

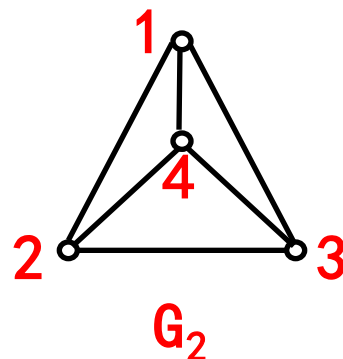
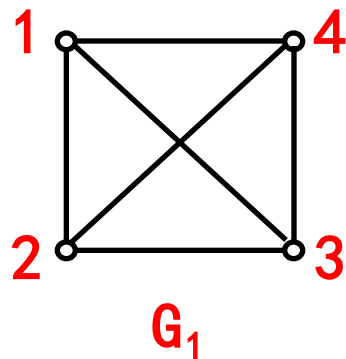
(1) $(3, 5, 1, 4), (1, 2, 3, 4, 5)$ 能成为图的度数序列吗？为什么？

(2) 已知图 G 中有15条边，2个度数为4的结点，4个度数为3的结点，其余结点的度数均小于等于2，问 G 中至少有多少个结点？为什么？

解 分析 (1) 这是这两和序握手定理推论的推论，由握手定理可知， $(3, 5, 1, 4)$ 和 $(1, 2, 3, 4, 5)$ 都是图 G 的度数序列，利用推论2.2.2可知， G 中所有结点的度数之和为30，2个度数为4的结点，4个度数为3的结点占去20度，还剩下10度。若其余全是度数为2的结点，还需要5个结点来占用这10度，所以 G 至少有11个结点。

9.2.8 图的同构

图是表达事物之间关系的工具，因此，图的最本质的内容是结点和边的关联关系。而在实际画图时，由于结点的位置不同，边的长短曲直不同，同一事物间的关系可能画出不同形状的图来。例如下图中的两个图 G_1 和 G_2 实际上是同一个图 K_4 。



定义9.2.13

设两个图 $G = \langle V, E \rangle$ 和 $G' = \langle V', E' \rangle$ ，如果存在**双射**函数 $g: V \rightarrow V'$ ，使得对于任意的 $e = (v_i, v_j)$ （或者 $\langle v_i, v_j \rangle$ ） $\in E$ 当且仅当 $e' = (g(v_i), g(v_j))$ （或者 $\langle g(v_i), g(v_j) \rangle$ ） $\in E'$ ，并且 e 与 e' 的**重数相同**，则称 G 与 G' **同构** (Isomorphism)，记为 $G \cong G'$ 。

对于同构，形象地说，若图的结点可以任意挪动位置，而边是完全弹性的，只要在不拉断的条件下，一个图可以变形为另一个图，那么这两个图是同构的。

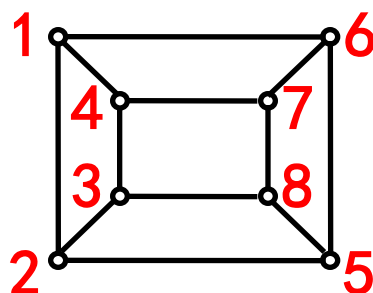


两个图同构的必要条件

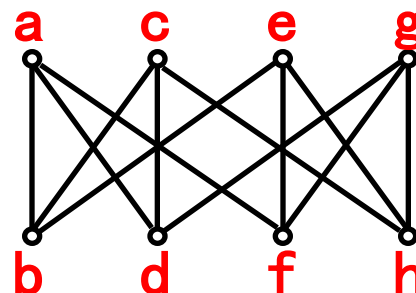
- (1) 结点数目相同；
- (2) 边数相同；
- (3) 度数相同的结点数相同。

例9.2.14

试证明下图中， $G \cong G'$ 。



G



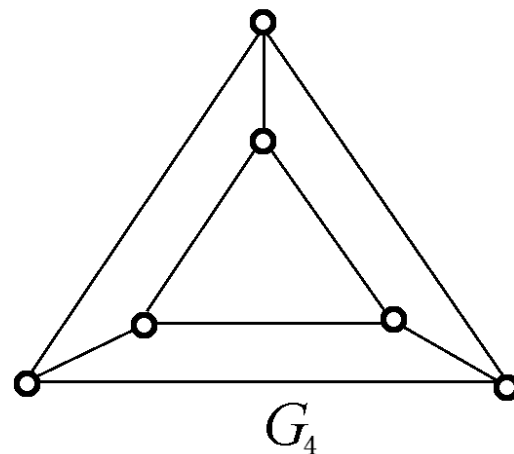
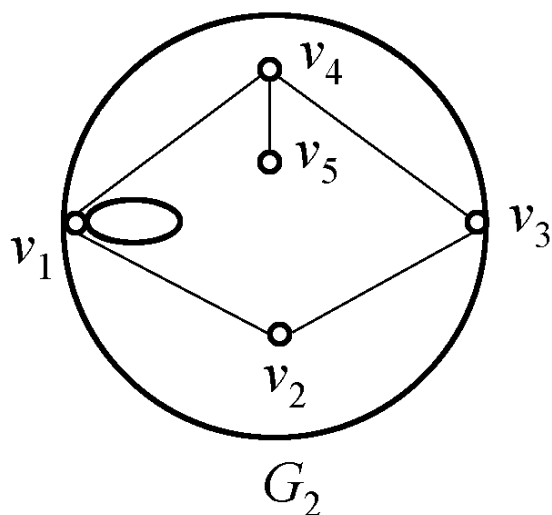
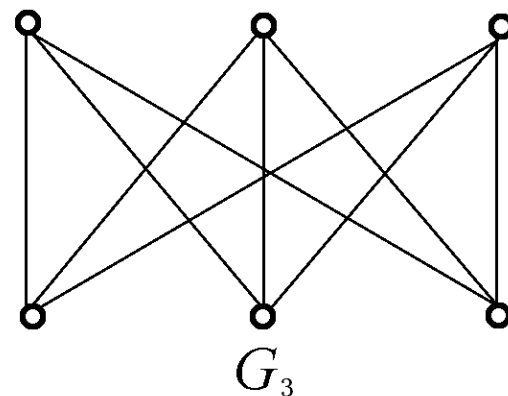
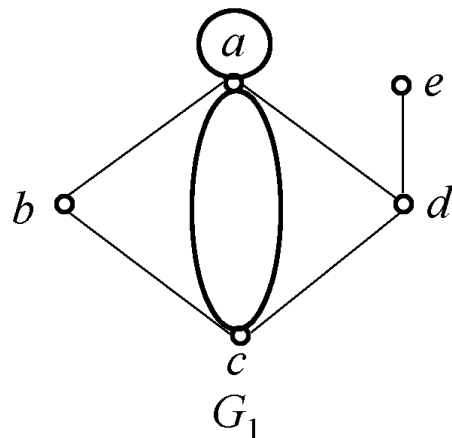
G'

证明 构造两个图间的映射关键是找到满足要求的
 结点集之间的(2)双射函数。=现在还没有好的办法，
 只有凭经验去试；
 $f(1)=a, f(2)=b, f(3)=c, f(4)=d, f(5)=e, f(6)=f, f(7)=g, f(8)=h$

容易验证， f 满足定义9.2.13，所以 $G \cong G'$ 。

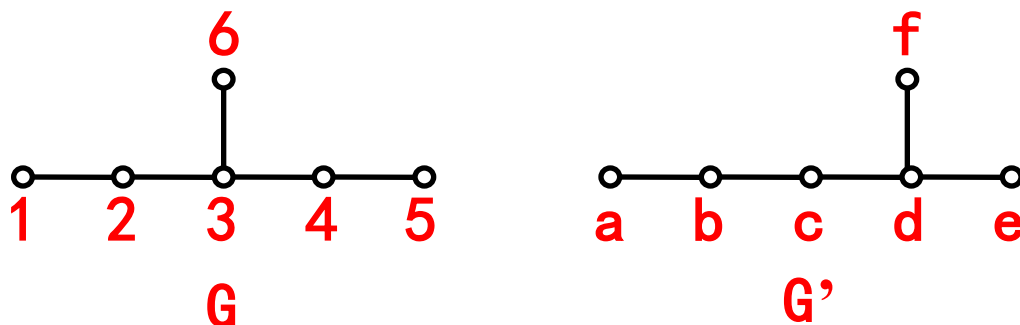
另一组判断同构的例子

下面两组图形是否同构，如果同构，指出双射函数



例9.2.15

证明下图中， G 与 G' 不同构



注意 证明两个图不同构，通常用反证法。在证明时，假设 $G \cong G'$ 两个图，双射函数满足由定义条件13，但不同构的度数一定相同，因此有 $f(3)=d$ 。寻找度数简单而有效的接法来判断图的同构度是图论的一个重要问题。

9.2.9 图的难点

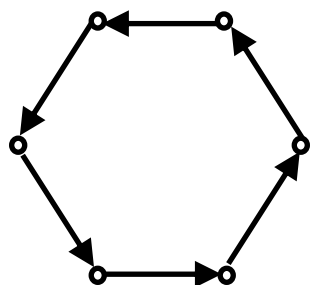
- 图是由两个集合构成的，可以利用集合的有关知识来研究它，如子图、完全图、补图等；
- 图的计算机表示就是它的邻接矩阵，实际中的图都是很大的，可能有成千上万的结点和边，用手工处理是很难想象的；
- 判断图的同构，是图论中一个重要而未解决的问题。现在还没有好的办法，只有凭经验按定义去试；
- 握手定理是图论的基本定理，很多理论都是以它为基础的，必须熟练掌握，并能灵活运用。

9.2.10 图的应用

自从克希荷夫运用图论从事电路网络的拓扑分析以来，尤其是近几十年来，网络理论的研究和应用十分引人注目，电路网络、运输网络、信息网络等与工程和应用紧密相关的课题受到了高度的重视，其中多数问题都与优化有关，涉及到问题的费用、容量、可靠性和其它性能指标，有重要的应用价值。网络应用的一个重要方面就是通讯网络。如电话网络、计算机网络、管理信息系统、医疗数据网络、银行数据网络、开关网络等等。这些网络的基本要求是网络中各个用户能够快速安全地传递信息，不产生差错和故障，同时使建造和维护网络所需费用低。因此通讯网络涉及的因素很多，我们就不详细介绍，仅说明一些基本知识。

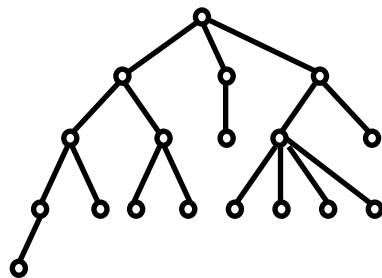
通讯网络

通讯网络中最重要的整体问题之一是网络的结构形式。通讯网络是一个强连通的有向图，根据用途和各种性能指标有着不同的结构形式，下图给出了一些典型的结构。



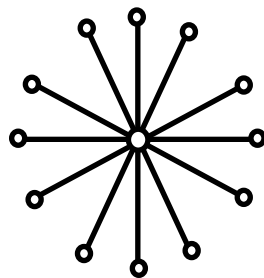
(a)

环 (Ring)
型网络



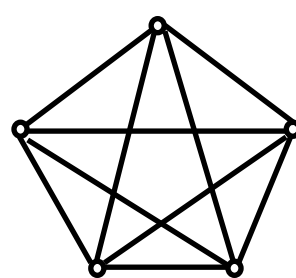
(b)

树 (Tree)
型网络



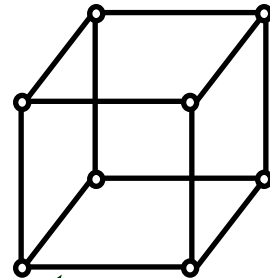
(c)

星
分布式 (Dist)
型网络



(d)

立方体 (Cube)
型网络



(e)

9.3.1 通路与回路

通路与回路是图论中两个重要的基本概念。本小节所述定义一般来说既适合有向图，也适合无向图，否则，将加以说明或分开定义。

定义9.3.1 (续)

给定图 $G=\langle V, E \rangle$ 中 **结点和边** 相继交错出现的序列

$$\Gamma = v_0 e_1 v_1 e_2 v_2 \cdots e_k v_k。$$

1. 若 Γ 中边 e_i 的两端点是 v_{i-1} 和 v_i (G 是有向图时要求 v_{i-1} 与 v_i 分别是 e_i 的始点和终点), $i=1, 2, \cdots, k$, 则称 Γ 为 **结点 v_0 到结点 v_k 的通路** (Entry)。 v_0 和 v_k 分别称为此通路的 **始点和终点**, 统称为通路的 **端点**。通路中 **边的数目 k** 称为此通路的 **长度** (Length)。当 $v_0=v_n$ 时, 此通路称为 **回路** (Circuit)。

定义9.3.1

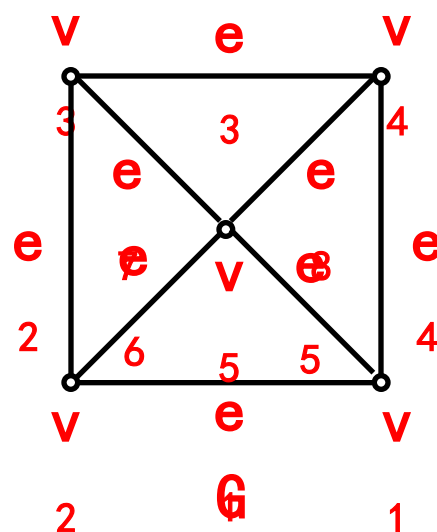
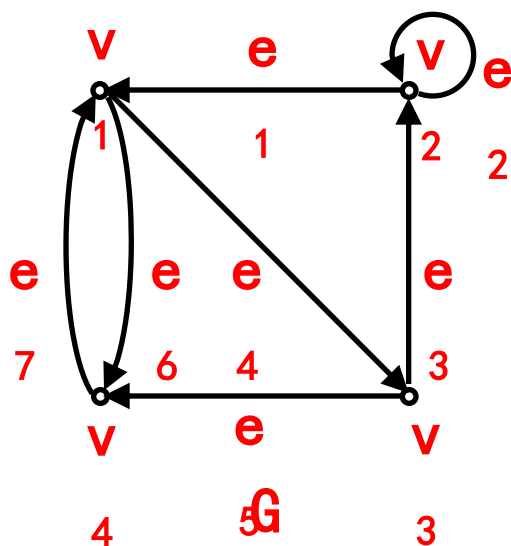
2. 若通路中的所有边互不相同，则称此通路为简单通路 (Simple Entry) 或一条迹；若回路中的所有边互不相同，则称此回路为简单回路 (Simple Circuit) 或一条闭迹。
3. 若通路中的所有结点互不相同 (从而所有边互不相同)，则称此通路为基本通路 (Basic Entry) 或者初级通路、路径；若回路中除 $v_0=v_k$ 外的所有结点互不相同 (从而所有边互不相同)，则称此回路为基本回路 (Basic Circuit) 或者初级回路、圈。

说明

1. 回路是通路的特殊情况。因而，我们说某条通路，它可能是回路。但当我们说一基本通路时，一般是指它不是基本回路的情况。
2. 基本通路（回路）一定是简单通路（回路），但反之不真。因为没有重复的结点肯定没有重复的边，但没有重复的边不能保证一定没有重复的结点。
3. 在不会引起误解的情况下，一条通路 $v_0e_1v_1e_2v_2\cdots e_nv_n$ 也可以用边的序列 $e_1e_2\cdots e_n$ 来表示，这种表示方法对于有向图来说较为方便。在线图中，一条通路 $v_0e_1v_1e_2v_2\cdots e_nv_n$ 也可以用结点的序列 $v_0v_1v_2\cdots v_n$ 来表示。

例9.3.1

判断下图 G_1 中的回路 $v_3e_5v_4e_7v_1e_4v_3e_3v_2e_1v_1e_4v_3$ 、 $v_3e_3v_2e_2v_2e_1v_1e_4v_3$ 、 $v_3e_3v_2e_1v_1e_4v_3$ 是否是简单回路、基本回路？图 G_2 中的通路 $v_1e_1v_2e_6v_5e_7v_3e_2v_2e_6v_5e_8v_4$ 、 $v_1e_5v_5e_7v_3e_2v_2e_6v_5e_8v_4$ 、 $v_1e_1v_2e_6v_5e_7v_3e_3v_4$ 是否是简单通路、基本通路？并求其长度。



例9.3.1 分析

判断一条通（回）路是否是简单通（回）路、基本通（回）路，主要是看它有无重复的边、结点。

在图 G_1 中， $v_3e_5v_4e_7v_1e_4v_3e_3v_2e_1v_1e_4v_3$ 中有重复的边 e_4 ，因此它不是简单回路，也不是基本回路；

$v_3e_3v_2e_2v_2e_1v_1e_4v_3$ 虽然没有重复的边，但有重复的结点 v_2 ，因此只能是简单回路，而不是基本回路；

而 $v_3e_3v_2e_1v_1e_4v_3$ 中既没有重复的边，也没有重复的结点，因此既是基本回路，也是简单回路；

例9.3.1 分析

在图 G_2 中， $v_1e_1v_2e_6v_5e_7v_3e_2v_2e_6v_5e_8v_4$ 中有重复的边 e_6 ，因此它不是它既不是简单通路，也不是基本通路；

$v_1e_5v_5e_7v_3e_2v_2e_6v_5e_8v_4$ 虽然没有重复的边，但有重复的结点 v_5 ，因此只能简单通路，但不是基本通路；

$v_1e_1v_2e_6v_5e_7v_3e_3v_4$ 中既没有重复的边，也没有重复的结点，因此既是基本通路，也是简单通路。

至于通（回）路的长度就是其包含的边的数目，这只需要数一数就行了。

例9.3.1 解

在图 G_1 中， $v_3e_5v_4e_7v_1e_4v_3e_3v_2e_1v_1e_4v_3$ 是一条长度为6的回路，但既不是简单回路，也不是基本回路；

$v_3e_3v_2e_2v_2e_1v_1e_4v_3$ 是一条长度为4的简单回路，但不是基本回路；

$v_3e_3v_2e_1v_1e_4v_3$ 是一条长度为3的基本回路，也是简单回路；

例9.3.1 解（续）

在图 G_2 中， $v_1e_1v_2e_6v_5e_7v_3e_2v_2e_6v_5e_8v_4$ 是一条长度为6的通路，但既不是简单通路，也不是基本通路；

$v_1e_5v_5e_7v_3e_2v_2e_6v_5e_8v_4$ 是一条长度为5的简单通路，但不是基本通路；

$v_1e_1v_2e_6v_5e_7v_3e_3v_4$ 是一条长度为4的基本通路，也是简单通路。

说明

在图 G_1 中，简单回路 $v_3e_3v_2e_2v_2e_1v_1e_4v_3$ 既可以用边的序列 $e_3e_2e_1e_4$ 来表示，也可以用结点的序列 $v_3v_2v_2v_1v_3$ 来表示；

在图 G_2 中，简单通路 $v_1e_5v_5e_7v_3e_2v_2e_6v_5e_8v_4$ 既可以用边的序列 $e_5e_7e_2e_6e_8$ 来表示，也可以用结点的序列 $v_1v_5v_3v_2v_5v_4$ 来表示。

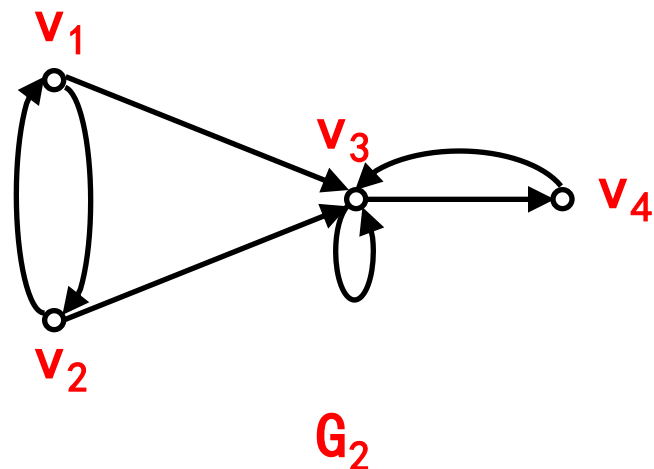
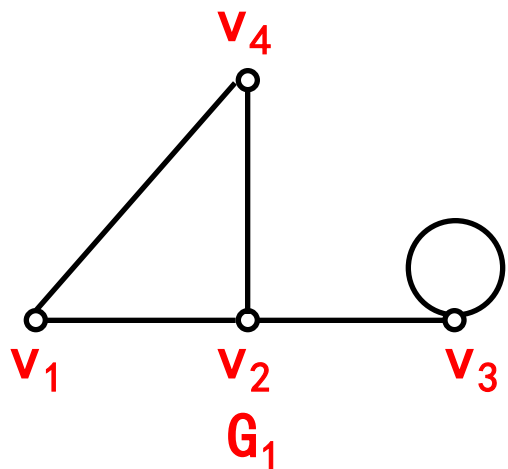
定理9.3.1

设 $G = \langle V, E \rangle$ 为线图, $V = \{v_1, v_2, \dots, v_n\}$, $A = (a_{ij})_{n \times n}$ 为 G 的邻接矩阵, $A_m = (a_{ij}^{(m)})_{n \times n}$ 。则

- $a_{ij}^{(m)}$ 为从结点 v_i 到结点 v_j 长度为 m 的通路数目;
- $a_{ii}^{(m)}$ 为结点 v_i 到自身的长度为 k 的回路数目;
- $\sum_{i=1}^n \sum_{j=1}^n a_{ij}^{(m)}$ 为 G 中长度为 m 的通路 (含回路) 总数。

例9.3.2

求下图中图 G_1 和 G_2 的从结点 v_1 到结点 v_3 长度为2和3的通路数目及所有长度为2和3的通路数目。



分析 利用定理9.3.3，求图中长度为 m 的通路数目，只需要先写出图的邻接矩阵，然后计算邻接矩阵的 m 次方即可。

例9.3.2 解

在图中， G_1 是无向线图， G_2 是有向线图，它们的邻接矩阵分别为：

$$A(G_1) = \begin{pmatrix} 0 & 1 & 0 & 1 \\ 1 & 0 & 1 & 1 \\ 0 & 1 & 1 & 0 \\ 1 & 1 & 0 & 0 \end{pmatrix}$$

$$A(G_2) = \begin{pmatrix} 0 & 1 & 1 & 0 \\ 1 & 0 & 1 & 1 \\ 1 & 0 & 0 & 0 \\ 0 & 0 & 0 & 1 \end{pmatrix}$$

例9.3.2 解(续)

下面计算邻接矩阵的幂，

$$(A(G_1))^2 = \begin{pmatrix} 0 & 1 & 0 & 1 \\ 1 & 0 & 1 & 1 \\ 0 & 1 & 1 & 0 \\ 1 & 1 & 0 & 0 \end{pmatrix} \times \begin{pmatrix} 0 & 1 & 0 & 1 \\ 1 & 0 & 1 & 1 \\ 0 & 1 & 1 & 0 \\ 1 & 1 & 0 & 0 \end{pmatrix} = \begin{pmatrix} 2 & 1 & 1 & 1 \\ 1 & 3 & 1 & 1 \\ 1 & 1 & 2 & 1 \\ 1 & 1 & 1 & 2 \end{pmatrix}$$

$$a_{13}^{(2)} = 1$$

$$\sum_{i=1}^4 \sum_{j=1}^4 a_{ij}^{(2)} = 21$$

$$\sum_{i=1}^4 a_{ii}^{(2)} = 9$$

因而 G_1 中从结点 v_1 到结点 v_3 长度为2通路数目为1，
长度为2的通路（含回路）总数为21，其中9条为回路。

例9.3.2 解(续)

$$(A(G_2))^2 = \begin{pmatrix} 0 & 1 & 1 & 0 \\ 1 & 0 & 1 & 0 \\ 0 & 0 & 1 & 1 \\ 0 & 0 & 1 & 0 \end{pmatrix} \times \begin{pmatrix} 0 & 1 & 1 & 0 \\ 1 & 0 & 1 & 0 \\ 0 & 0 & 1 & 1 \\ 0 & 0 & 1 & 0 \end{pmatrix} = \begin{pmatrix} 1 & 0 & 2 & 1 \\ 0 & 1 & 2 & 1 \\ 0 & 0 & 2 & 1 \\ 0 & 0 & 1 & 1 \end{pmatrix}$$

$$a_{13}^{(2)} = 2$$

$$\sum_{i=1}^4 \sum_{j=1}^4 a_{ij}^{(2)} = 13$$

$$\sum_{i=1}^4 a_{ii}^{(2)} = 4$$

G_2 中从结点 v_1 到结点 v_3 长度为2通路数目为2，长度为2的通路（含回路）总数为13，其中5条为回路。

例9.3.2 解(续)

$$(A(G_1))^3 = A(G_1) \cdot (A(G_1))^2 = \begin{pmatrix} 2 & 4 & 2 & 3 \\ 4 & 3 & 4 & 4 \\ 2 & 4 & 3 & 2 \\ 3 & 4 & 2 & 2 \end{pmatrix}$$

$$a_{13}^{(3)} = 2 \quad \sum_{i=1}^4 \sum_{j=1}^4 a_{ij}^{(3)} = 48 \quad \sum_{i=1}^4 a_{ii}^{(3)} = 10$$

因而 G_1 中从结点 v_1 到结点 v_3 长度为3的通路数目为2，长度为3的通路（含回路）总数为48，其中10条为回路。

例9.3.2 解(续)

$$(A(G_2))^3 = A(G_2) \cdot (A(G_2))^2 = \begin{pmatrix} 0 & 1 & 4 & 2 \\ 1 & 0 & 4 & 2 \\ 0 & 0 & 3 & 2 \\ 0 & 0 & 2 & 1 \end{pmatrix}$$

$$a_{13}^{(3)} = 4$$

$$\sum_{i=1}^4 \sum_{j=1}^4 a_{ij}^{(3)} = 22$$

$$\sum_{i=1}^4 a_{ii}^{(3)} = 4$$

G_2 中从结点 v_1 到结点 v_3 长度为3的通路数目为4，长度为3的通路（含回路）总数为22，其中4条为回路。

定义9.3.2

在图 $G = \langle V, E \rangle$ 中, $v_i, v_j \in V$ 。

(1) 如果从 v_i 到 v_j **存在通路**, 则称 v_i 到 v_j 是**可达**的, 否则称 v_i 到 v_j **不可达**。规定: **任何结点到自己都是可达的**。

(2) 如果 v_i 到 v_j **可达**, 则称**长度最短的通路**为从 v_i 到 v_j 的**短程线** (Geodesic), 从 v_i 到 v_j 的短程线的长度称为从 v_i 到 v_j 的**距离** (Distance), 记为 $d(v_i, v_j)$ 。如果 v_i 到 v_j **不可达**, 则通常记为 $d(v_i, v_j) = \infty$ 。

定理9.3.2

在一个具有 n 个结点的图中，如果从结点 v_i 到结点 v_j ($v_i \neq v_j$) 存在一条通路，则从 v_i 到 v_j 存在一条长度不大于 $n-1$ 的通路。

分析 通路的长度为序列中的结点数减1，如果结点不重复，最多 n 个，因此通路长度最多 $n-1$ ；如果结点有重复，则在重复的结点间构成一条回路，删除这条回路，剩下的仍然是从结点 v_i 到结点 v_j 的通路。一直删下去，直到无重复结点为止，这样定理就得证了。

几个结论

推论9.3.1 在一个具有 n 个结点的图中，如果从结点 v_i 到结点 v_j ($v_i \neq v_j$) 存在一条通路，则从 v_i 到 v_j 存在一条长度不大于 $n-1$ 的基本通路。

定理9.3.3 在一个具有 n 个结点的图中，如果存在经过结点 v_i 回路，则存在一条经过 v_i 的长度不大于 n 的回路。

推论9.3.2 在一个具有 n 个结点的图中，如果存在经过结点 v_i 回路，则存在一条经过 v_i 的长度不大于 n 的基本回路。

利用邻接矩阵判断可达

利用定理9.3.2和定理9.3.3，我们可以通过计算图的邻接矩阵及其幂的方法来判断从 v_i 到 v_j 是否可达，以及从 v_i 到 v_j 的距离。

设矩阵 $B_n = A + A^2 + A^3 + \cdots + A^n$

则 B^n 中的元素

$$b_{ij}^{(n)} = a_{ij}^{(1)} + a_{ij}^{(2)} + \cdots + a_{ij}^{(n)} = \sum_{m=1}^n a_{ij}^{(m)}$$

表示图 G 中从结点 v_i 到结点 v_j 的长度小于等于 n 的通路总数，若 $i = j$ ， $b_{ii}^{(n)}$ 为 G 中结点 v_i 到自身的长度小于等于 n 的回路总数。

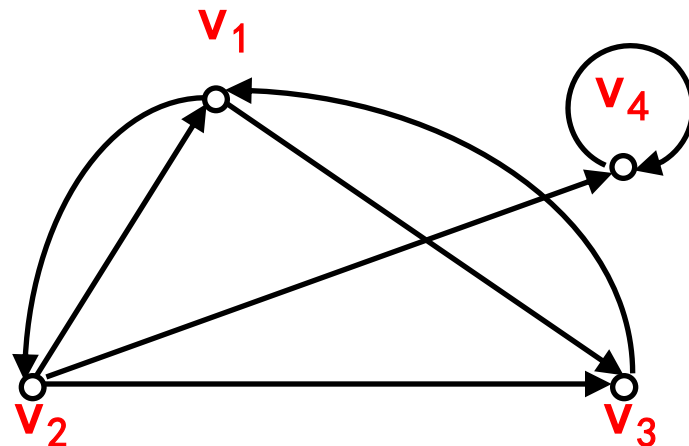
定理9.3.4

设 $G = \langle V, E \rangle$ 为线图, $V = \{v_1, v_2, \dots, v_n\}$, $A = (a_{ij})_{n \times n}$ 为 G 的邻接矩阵, $A^m = (a_{ij}^{(m)})_{n \times n}$, $m=1, 2, \dots, n$; $B^n = (b_{ij}^{(n)})_{n \times n} = A + A^2 + A^3 + \dots + A^n$ 。则有: 如果 $b_{ij}^{(n)} > 0$, 那么从 v_i 到 v_j 可达, 否则不可达; 并且

$$d(v_i, v_j) = \begin{cases} \infty, & \text{如果所有 } a_{ij}^{(1)}, a_{ij}^{(2)}, \dots, a_{ij}^{(n)} \text{ 均为 } 0 \\ k, & \text{否则, } k = \min \{m \mid a_{ij}^{(m)} \neq 0, m=1, 2, \dots, n\} \end{cases}$$

例9.3.3

判断右图中图G中结点之间的可达关系，并求任两结点间的距离。



分析 利用定理9.3.4，先写出图的邻接矩阵A，然后计算A的幂即可。

例9.3.3 解

在图中，G的邻接矩阵及其2、3、4次幂分别为：

$$A = \begin{pmatrix} 0 & 1 & 1 & 0 \\ 1 & 0 & 1 & 1 \\ 1 & 0 & 0 & 0 \\ 0 & 0 & 0 & 1 \end{pmatrix}$$

$$A^2 = \begin{pmatrix} 2 & 0 & 1 & 1 \\ 1 & 1 & 1 & 1 \\ 0 & 1 & 1 & 0 \\ 0 & 0 & 0 & 1 \end{pmatrix}$$

$$A^3 = \begin{pmatrix} 1 & 2 & 2 & 1 \\ 2 & 1 & 2 & 2 \\ 2 & 0 & 1 & 1 \\ 0 & 0 & 0 & 1 \end{pmatrix}$$

$$A^4 = \begin{pmatrix} 4 & 1 & 3 & 3 \\ 3 & 2 & 3 & 3 \\ 1 & 2 & 2 & 1 \\ 0 & 0 & 0 & 1 \end{pmatrix}$$

例9.3.3 解(续)

从而有

$$B_4 = A + A^2 + A^3 + A^4 = \begin{pmatrix} 7 & 4 & 7 & 5 \\ 7 & 4 & 7 & 7 \\ 4 & 3 & 4 & 2 \\ 0 & 0 & 0 & 4 \end{pmatrix}$$

故从 v_1 到 v_1, v_2, v_3, v_4 都是可达的；从 v_2 到 v_1, v_2, v_3, v_4 都是可达的；从 v_3 到 v_1, v_2, v_3, v_4 都是可达的；从 v_4 到 v_4 都是可达的，从 v_4 到 v_1, v_2, v_3 都是不可达的。并且有

$$\begin{aligned} d(v_1, v_2) &= d(v_1, v_3) = d(v_2, v_1) = d(v_2, v_3) = d(v_2, v_4) \\ &= d(v_3, v_1) = 1, d(v_1, v_4) = d(v_3, v_2) = 2, d(v_3, v_4) = 3, \\ d(v_4, v_1) &= d(v_4, v_2) = d(v_4, v_3) = \infty. \end{aligned}$$

定义9.3.3

设 $G = \langle V, E \rangle$ 是一个线图，其中 $V = \{v_1, v_2, \dots, v_n\}$ ，并假定结点已经有了从 v_1 到 v_n 的次序，称 n 阶方阵 $P = (p_{ij})_{n \times n}$ 为图 G 的可达性矩阵 (Accessibility Matrix)，其中

$$p_{ij} = \begin{cases} 1, & \text{当 } v_i \text{ 到 } v_j \text{ 至少存在一条非零长度的通路} \\ 0, & \text{否则} \end{cases}$$

$$i, j = 1, 2, 3, \dots, n$$

定理9.3.5

设 $G = \langle V, E \rangle$ 为线图， A 、 P 分别是 G 的邻接矩阵和可达性矩阵，则有

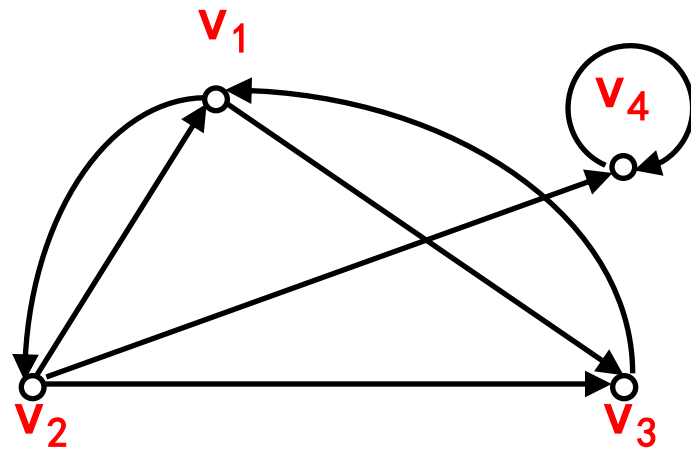
$$P = A \vee A^{(2)} \vee A^{(3)} \vee \dots \vee A^{(n)} = \bigvee_{i=1}^n A^{(i)}$$

这里， $A^{(i)}$ 表示做矩阵布尔乘法的 i 次幂。

例9.3.4

求右图中图G中的可达性矩阵。

解析 在图9.3.4中，G的邻接矩阵A及其2、3、4次布尔乘法幂的分别为：
先计算A的2、3、4次布尔乘法幂，然后做布尔加即可。



$$A = \begin{pmatrix} 0 & 1 & 1 & 0 \\ 1 & 0 & 1 & 1 \\ 1 & 0 & 0 & 0 \\ 0 & 0 & 0 & 1 \end{pmatrix}$$

$$A^{(2)} = A \odot A = \begin{pmatrix} 1 & 0 & 1 & 1 \\ 1 & 1 & 1 & 1 \\ 0 & 1 & 1 & 0 \\ 0 & 0 & 0 & 1 \end{pmatrix}$$

例9.3.4 解 (续)

$$\mathbf{A}^{(3)} = \mathbf{A}^{(2)} \odot \mathbf{A} = \begin{pmatrix} 1 & 1 & 1 & 1 \\ 1 & 1 & 1 & 1 \\ 1 & 0 & 1 & 1 \\ 0 & 0 & 0 & 1 \end{pmatrix}$$

$$\mathbf{A}^{(4)} = \mathbf{A}^{(3)} \odot \mathbf{A} = \begin{pmatrix} 1 & 1 & 1 & 1 \\ 1 & 1 & 1 & 1 \\ 1 & 1 & 1 & 1 \\ 0 & 0 & 0 & 1 \end{pmatrix}$$

例9.3.4 解 (续)

于是该图的可达性矩阵为：

$$\mathbf{P} = \mathbf{A}^{(1)} \vee \mathbf{A}^{(2)} \vee \mathbf{A}^{(3)} \vee \mathbf{A}^{(4)} = \begin{pmatrix} 1 & 1 & 1 & 1 \\ 1 & 1 & 1 & 1 \\ 1 & 1 & 1 & 1 \\ 0 & 0 & 0 & 1 \end{pmatrix}$$

这与我们利用B4求得的结果完全一致。

9.3.2 无向图的连通性

定义9.3.4 若无向图 G 中的任何两个结点都是可达的，则称 G 是**连通图** (Connected Graph)，否则称 G 是**非连通图** (Unconnected Graph) 或**分离图** (Separated Graph)。

无向完全图 K_n ($n \geq 1$) 都是连通图，而多于一个结点的零图都是非连通图。

利用邻接矩阵 A 和可达性矩阵 P ，显然有：

非平凡无向线图 G 是连通图当且仅当它的可达性矩阵 P 的所有元素均为1。

定理9.3.6

无向图 $G=\langle V, E \rangle$ 中结点之间的可达关系 R 定义如下：

$$R = \{ \langle u, v \rangle \mid u, v \in V, u \text{ 到 } v \text{ 可达} \},$$

则 R 是 V 上的等价关系。

分析 利用等价关系的定义，很容易证明 R 是自反、对称、传递的。

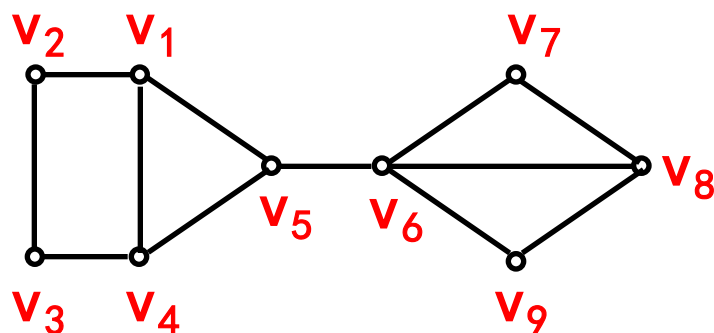
定义9.3.5

无向图 $G=\langle V, E \rangle$ 中结点之间的可达关系 R 的每个等价类导出的子图都称为 G 的一个连通分支 (Connected Component)。用 $p(G)$ 表示 G 中的连通分支个数。

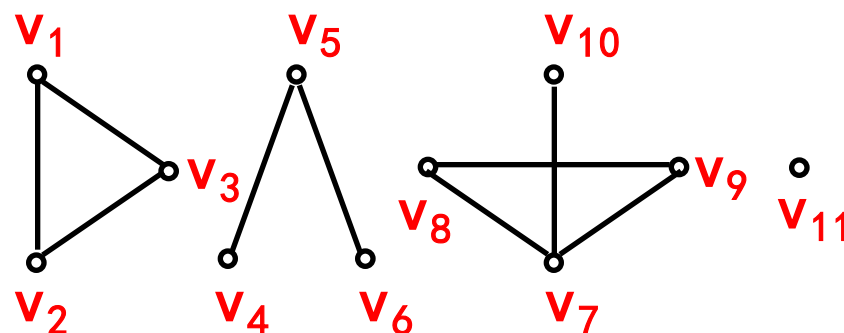
显然，无向图 G 是连通图当且仅当 $p(G) = 1$ ；
每个结点和每条边都在且仅在一个连通分支中。

例9.3.5

判断下图中图 G_1 和 G_2 的连通性，并求其连通分支个数。



G_1



G_2

分析 本题中图很简单，并且给出了图形，很容易看出在上图中， G_1 是连通图，所以 $p(G_1) = 1$ 。 G_2 是非连通图，且 $p(G_2) = 4$ 。容易看出， G_2 中可达关系的等价类为 $\{v_1, v_2, v_3\}$ ， $\{v_4, v_5, v_6\}$ ， $\{v_7, v_8, v_9, v_{10}\}$ ， $\{v_{11}\}$ ，它们导出的子图即为 G_2 的4个连通分支。

9.3.3 有向图的连通性

定义9.3.5 设 G 为有向图。

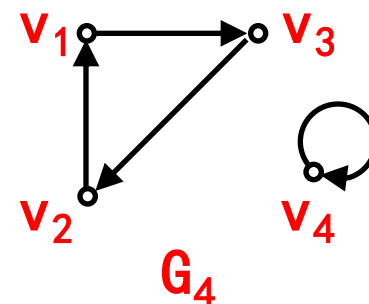
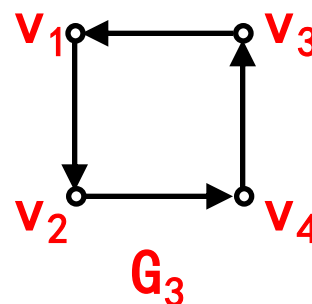
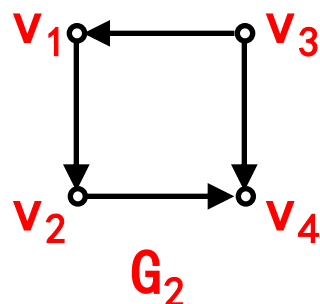
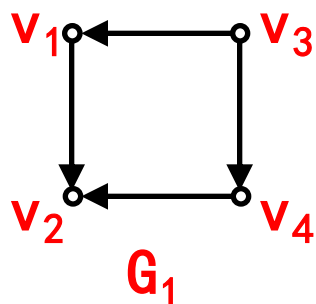
(1) 若有向图 G 是强连通图，则它必是单向连通图；若有向图 G 是单向连通图，则它必是（弱）连通图。但是上述二命题的逆均不成立。

(2) 若 G 中任何一对结点之间至少有一个结点到另一个结点是可达的，则称 G 是单向连通图(Unilaterally Connected Graph)；

(3) 若 G 中任何一对结点之间都是相互可达的，则称 G 是强连通图(Strongly Connected Graph)。

例9.3.6

判断下图中4个图的连通性。



分析 先看略去图中所有有向边的方向得无向图，容易看出 G_1 、 G_2 、 G_3 是连通的有向图， G_4 是非连通的有向图。再看有向连通图中结点可达性情况。

解 首先看略去图中所有有向边的方向得无向图，容易看出 G_1 、 G_2 、 G_3 是连通的有向图， G_4 是非连通的有向图。再看有向连通图中结点可达性情况。

在 G_1 中，从 v_1 出发，可以到达 v_2 、 v_3 、 v_4 ，所以 v_1 是可达的。同理，从 v_2 出发，可以到达 v_3 、 v_4 、 v_1 ，所以 v_2 是可达的。同理，从 v_3 出发，可以到达 v_4 、 v_1 、 v_2 ，所以 v_3 是可达的。同理，从 v_4 出发，可以到达 v_1 、 v_2 、 v_3 ，所以 v_4 是可达的。因此 G_1 是强连通图。

在 G_2 中，从 v_1 出发，可以到达 v_2 、 v_3 、 v_4 ，所以 v_1 是可达的。同理，从 v_2 出发，可以到达 v_3 、 v_4 、 v_1 ，所以 v_2 是可达的。同理，从 v_3 出发，可以到达 v_4 、 v_1 、 v_2 ，所以 v_3 是可达的。同理，从 v_4 出发，可以到达 v_1 、 v_2 、 v_3 ，所以 v_4 是可达的。因此 G_2 是强连通图。

在 G_3 中，从 v_1 出发，可以到达 v_2 、 v_3 、 v_4 ，所以 v_1 是可达的。同理，从 v_2 出发，可以到达 v_3 、 v_4 、 v_1 ，所以 v_2 是可达的。同理，从 v_3 出发，可以到达 v_4 、 v_1 、 v_2 ，所以 v_3 是可达的。同理，从 v_4 出发，可以到达 v_1 、 v_2 、 v_3 ，所以 v_4 是可达的。因此 G_3 是强连通图。

在 G_4 中，从 v_1 出发，可以到达 v_2 、 v_3 、 v_4 ，所以 v_1 是可达的。同理，从 v_2 出发，可以到达 v_3 、 v_4 、 v_1 ，所以 v_2 是可达的。同理，从 v_3 出发，可以到达 v_4 、 v_1 、 v_2 ，所以 v_3 是可达的。同理，从 v_4 出发，可以到达 v_1 、 v_2 、 v_3 ，所以 v_4 是可达的。因此 G_4 是强连通图。

定理9.3.7

有向图 G 是强连通图的充分必要条件是 G 中存在一条经过所有结点的回路。

必要性 充分性是显而易见的。若 G 是强连通图，则对任意一条经过所有结点的回路 C ，显然所有结点均在该回路中出现。所以 G 是强连通图。

充分性 假设 G 是强连通图，但 G 中不存在一条经过所有结点的回路。设 v_1, v_2, \dots, v_n 是 G 中所有结点，且 v_1 是可达的。由于 G 是强连通图，所以 v_i 到 v_{i+1} 存在通路， $i=1, 2, \dots, n-1$ ，且 v_n 到 v_1 存在通路。让这些连通首尾相接，则得一回路 C 。显然所有结点均在该回路中出现。

利用A和P判断有向图的连通性

1. 有向线图G是强连通图当且仅当它的可达性矩阵P的所有元素均为1；
2. 有向线图G是单向连通图当且仅当它的可达性矩阵P及其转置矩阵 P^T 经过布尔并运算后所得的矩阵 $P' = P \vee P^T$ 中除主对角元外其余元素均为1；
3. 有向线图G是弱连通图当且仅当它的邻接矩阵A及其转置矩阵 A^T 经布尔并运算所得的矩阵 $A' = A \vee A^T$ 作为邻接矩阵而求得的可达性矩阵P'中所有元素均为1。

定义9.3.6

在有向图 $G = \langle V, E \rangle$ 中，设 G' 是 G 的子图，如果

- (1) G' 是**强连通的**（**单向连通的**、**弱连通的**）；
- (2) 对任意 $G' \subsetneq G$ ，若 $G' \subsetneq G''$ ，则 G'' 不是**强连通的**（**单向连通的**、**弱连通的**）；

那么称 G' 为 G 的**强连通分支**（**单向连通分支**、**弱连通分支**）（Strongly/Unilaterally/weakly Connected Component），或称为**强分图**（**单向分图**、**弱分图**）。

注

1. 如果不考虑边的方向，弱连通分支对应相应的无向图的连通分支。
2. 注意把握（强、单向、弱）连通分支的**极大性特点**，即任意增加一个结点或一条边就不是（强、单向、弱）连通的了。

3、无向赋权图的最短通路

在赋权图中，边的权也称为边的**长度**，一条通路的长度指的就是这条通路上各边的**长度之和**。从结点 v_i 到 v_j 的**长度最小**的**通路**，称为 v_i 到 v_j 的**最短通路**。

(1) 求给定两结点间的最短通路—Dijkstra算法

如何求出简单无向赋权图 $G = \langle V, E \rangle$ 中从结点 v_1 到 v_n 的最短通路，目前比较好的算法是由Dijkstra在1959年提出的，称为**Dijkstra算法**，其基本思想是：将结点集合 V 分为两部分：一部分称为**具有P（永久性）标号的集合**，另一部分称为**具有T（暂时性）标号的集合**。所谓**结点 v 的P标号**是指从 v_1 到 v 的最短通路的长度；而**结点 u 的T标号**是指从 v_1 到 u 的某条通路的长度。首先将 v_1 取为P标号，其余结点为T标号，然后逐步将具有T标号的结点改为P标号。当结点 v_n 也被改为P标号时，则找到了从 v_1 到 v_n 的一条最短通路。

算法9.3.1 Dijkstra算法

- I. **初始化**：将 v_1 置为P标号， $d(v_1) = 0$ ， $P = \{v_1\}$ ， $v_i \in V$ ， $i \neq 1$ ，置 v_i 为T标号，即 $T = V - P$ 且

$$d(v_i) = \begin{cases} w(v_1, v_i), & \text{若 } (v_1, v_i) \in E \\ \infty & \text{若 } (v_1, v_i) \notin E \end{cases}$$

- II. **找最小**：寻找具有最小值的T标号的结点。若为 v_k ，则将 v_k 的T标号改为P标号，且 $P = P \cup \{v_k\}$ ， $T = T - \{v_k\}$ 。

算法9.3.1 Dijkstra算法(续)

III. 修改：修改与 v_k 相邻的结点的T标号值。 $v_i \in V$,

$$d(v_i) = \begin{cases} d(v_k) + w(v_k, v_i), & \text{若 } d(v_k) + w(v_k, v_i) < d(v_i) \\ d(v_i) & \text{否贾} \end{cases}$$

IV. 重复(II)和(III)，直到 v_n 改为P标号为止。

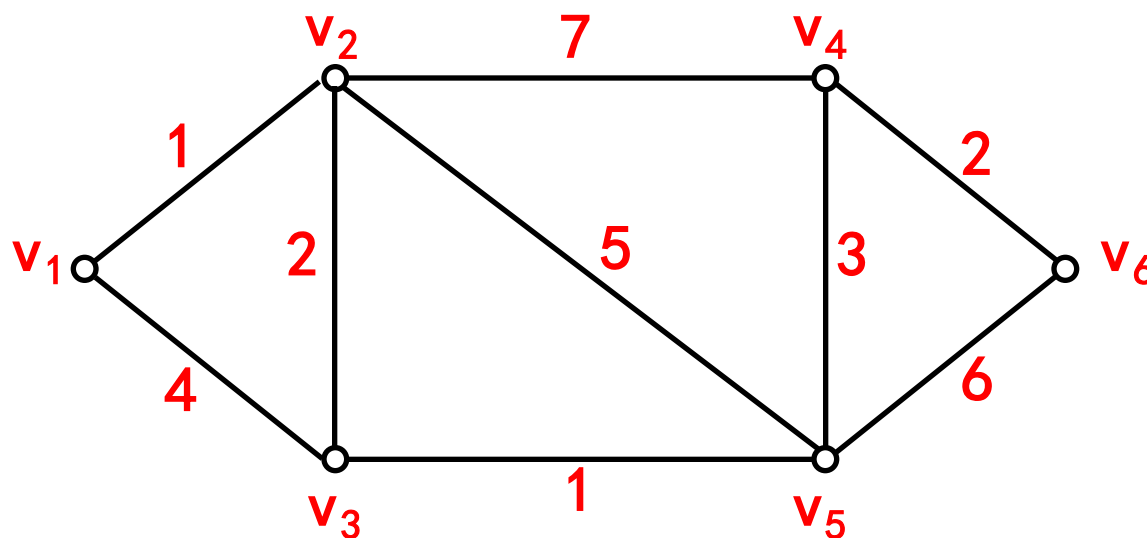
说明

当 v_n 归入 P 而正好 $P = V$ 时，不仅求出了从 v_1 到 v_n 的最短通路，而且实际上求出了从 v_1 到所有结点的最短通路。

上述算法的正确性是显然的。因为在每一步，设 P 中每一结点的标号是从 v_1 到该结点的最短通路的长度（开始时， $P = \{v_1\}$ ， $d(v_1) = 0$ ，这个假设是正确的），故只要证明上述 $d(v_i)$ 是从 v_1 到 v_i 的最短通路的长度即可。事实上，任何一条从 v_1 到 v_i 通路，若通过 T 的第一个结点是 v_p ，而 $v_p \neq v_i$ 的话，由于所有边的长度非负，则这种通路的长度不会比 $d(v_i)$ 小。

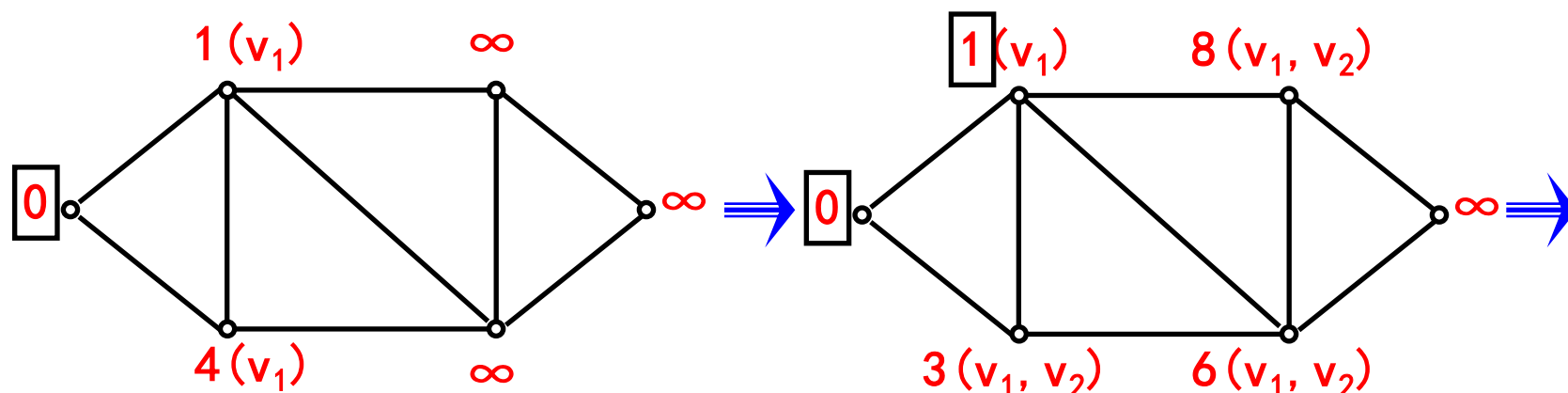
例9.3.9

试求简单无向赋权图中 v_1 到 v_6 的最短通路。

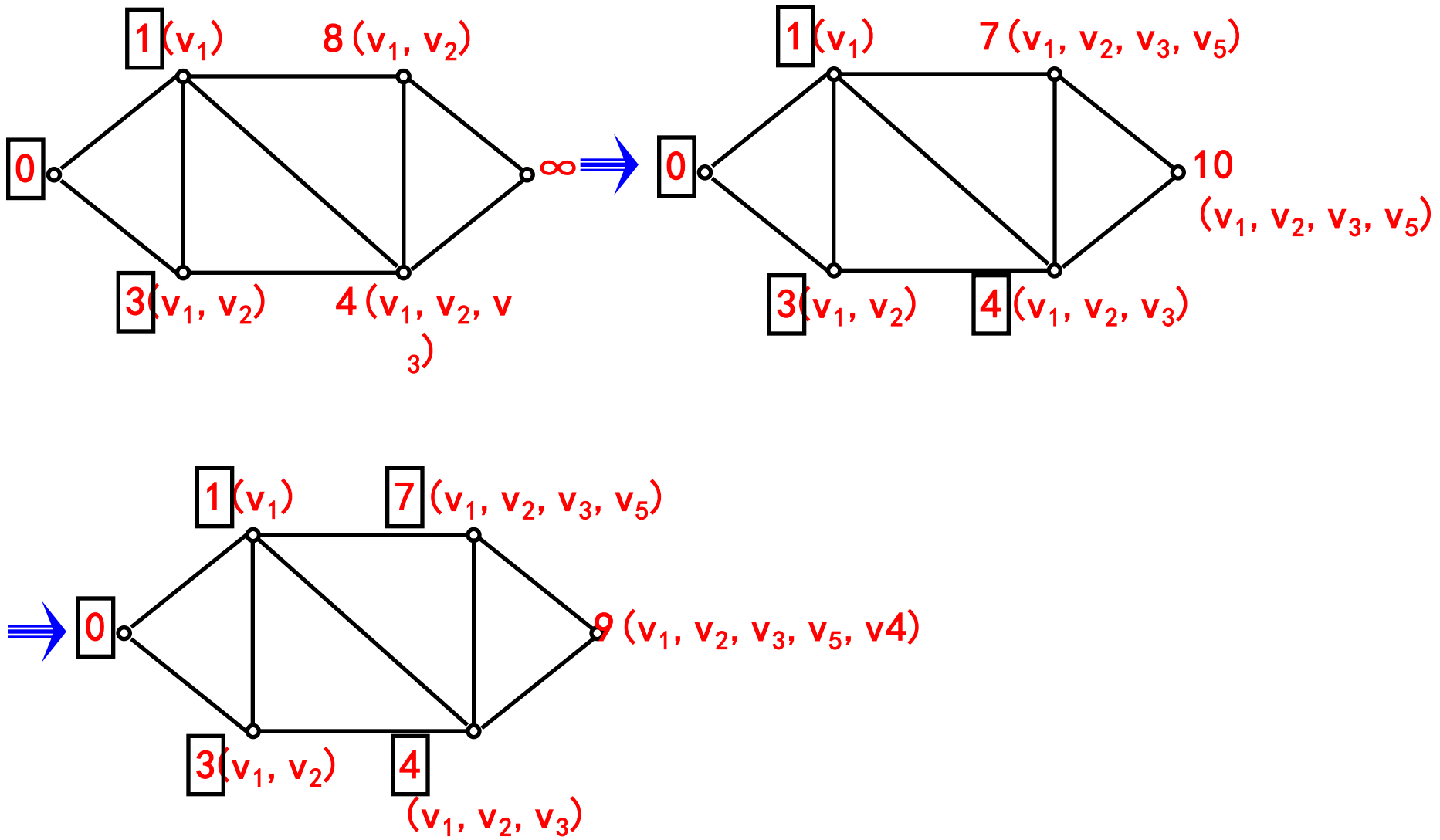


例9.3.9 解

根据Dijkstra算法，有如下图所示的求解过程。
故 v_1 到 v_6 的最短通路为 $v_1v_2v_3v_5v_4v_6$ ，其长度为9。
实际上，也求出了 v_1 到所有结点的最短通路，如 v_1 到 v_5 的最短通路为 $v_1v_2v_3v_5$ ，其长度为4，等等。



例9.3.9 解 (续)



(2) 求任意两结点间的最短通路——Floyd算法

算法9.3.2 Floyd算法:

从矩阵 $D^{(0)} = (w_{ij})_{n \times n}$ (这里 $w_{ij} = w(v_i, v_j)$, 称为图的长度矩阵) 开始, 依次构造出 n 个矩阵 $D^{(1)}$ 、 $D^{(2)}$ 、 \dots 、 $D^{(n)}$, 这里 n 为图中结点的个数。第 k 个矩阵 $D^{(k)} = (d_{ij}^{(k)})$ 的元素 $d_{ij}^{(k)}$ 表示从结点 v_i 到 v_j 而中间结点仅属于 v_1 到 v_k 的 k 个结点的所有通路中的最短通路长度。

若已知 $D^{(k-1)} = (d_{ij}^{(k-1)})$, 则 $D^{(k)} = (d_{ij}^{(k)})$ 的元素规定为

$$d_{ij}^{(k)} = \min \{d_{ij}^{(k-1)}, d_{ik}^{(k-1)} + d_{kj}^{(k-1)}\}$$

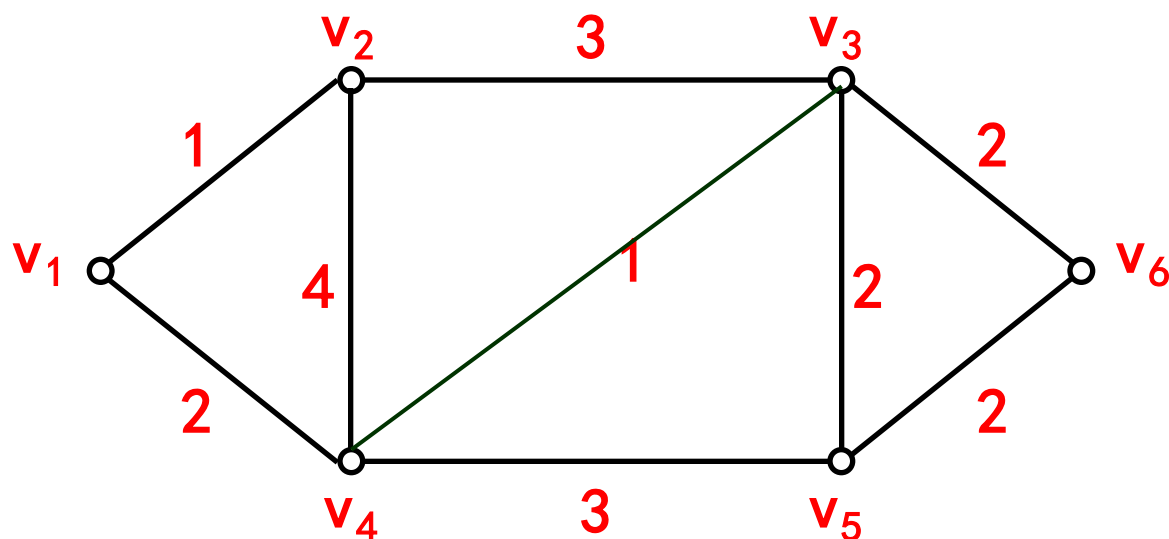
Floyd算法

运算过程从 $k = 1$ 开始，让 i 和 j 分别取遍从1到 n 的所有值，然后 k 增加1，如此反复进行，直到 $k = n$ 为止。这时 $D^{(n)} = (d_{ij}^{(k)})$ 的元素就是从 v_i 到 v_j 的最短通路长度。

算法的正确性是显然的。Floyd算法算法求出了任意两个结点间的最短通路的长度，从而很容易得出相应的最短通路。

例9.3.10

试求简单无向赋权图9.3.13中的所有最短通路。

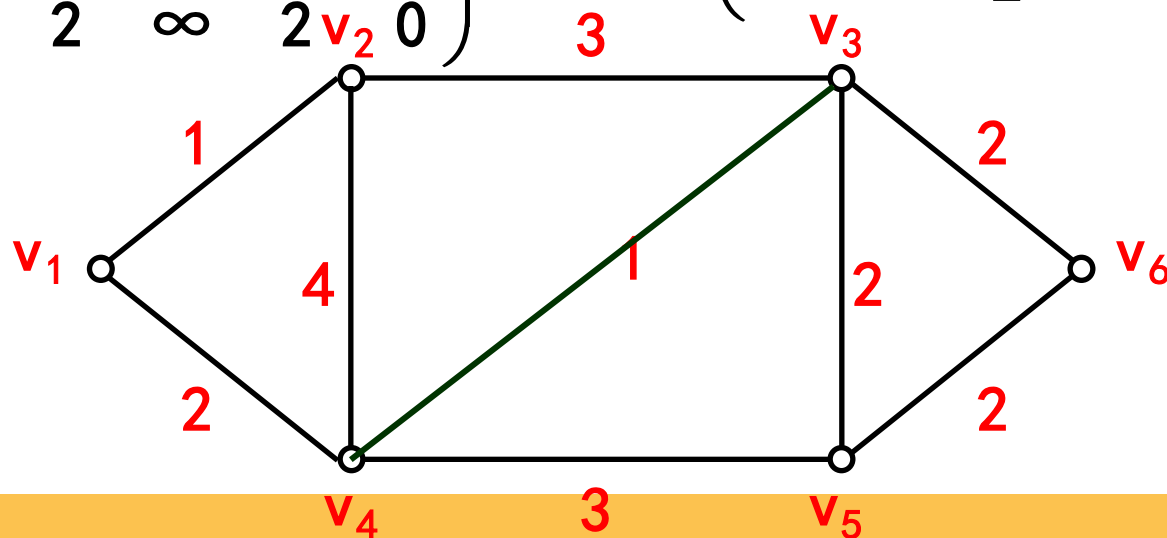


例9.3.10 解

根据Floyd算法，有：

$$D^{(0)} = \begin{pmatrix} 0 & 1 & \infty & 2 & \infty & \infty \\ 1 & 0 & 3 & 4 & \infty & \infty \\ \infty & 3 & 0 & 1 & 2 & 2 \\ 2 & 4 & 1 & 0 & 3 & \infty \\ \infty & \infty & 2 & 3 & 0 & 2 \\ \infty & \infty & 2 & \infty & 2 & 0 \end{pmatrix}$$

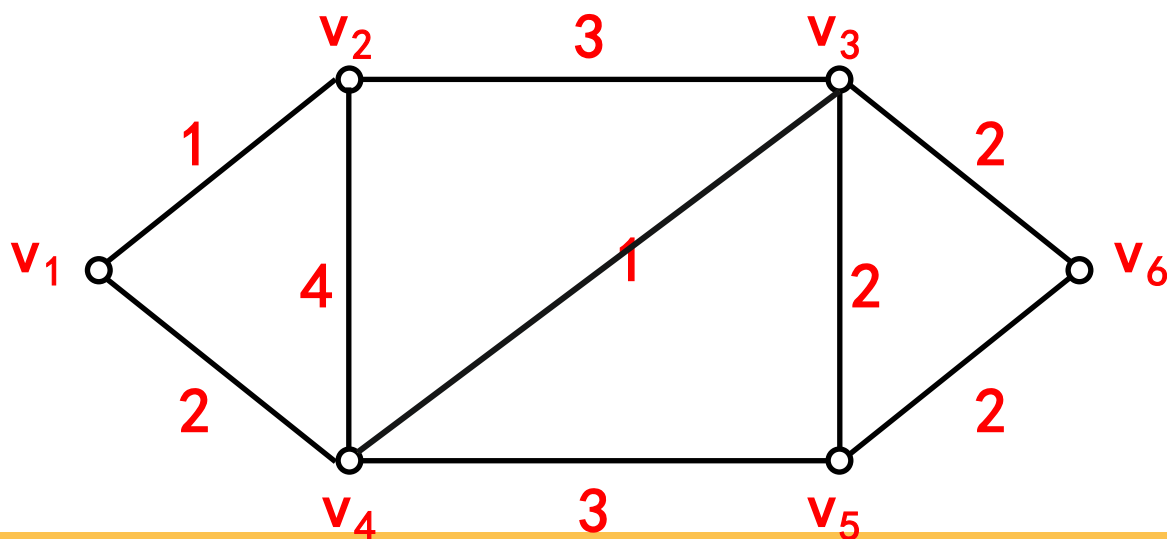
$$D^{(1)} = \begin{pmatrix} 0 & 1 & \infty & 2 & \infty & \infty \\ 1 & 0 & 3 & 3 & \infty & \infty \\ \infty & 3 & 0 & 1 & 2 & 2 \\ 2 & 3 & 1 & 0 & 3 & \infty \\ \infty & \infty & 2 & 3 & 0 & 2 \\ \infty & \infty & 2 & \infty & 2 & 0 \end{pmatrix}$$



例9.3.10 解(续)

$$D^{(2)} = \begin{pmatrix} 0 & 1 & 4 & 2 & \infty & \infty \\ 1 & 0 & 3 & 3 & \infty & \infty \\ 4 & 3 & 0 & 1 & 2 & 2 \\ 2 & 3 & 1 & 0 & 3 & \infty \\ \infty & \infty & 2 & 3 & 0 & 2 \\ \infty & \infty & 2 & \infty & 2 & 0 \end{pmatrix}$$

$$D^{(3)} = \begin{pmatrix} 0 & 1 & 4 & 2 & 6 & 6 \\ 1 & 0 & 3 & 3 & 5 & 5 \\ 4 & 3 & 0 & 1 & 2 & 2 \\ 2 & 3 & 1 & 0 & 3 & 3 \\ 6 & 5 & 2 & 3 & 0 & 2 \\ 6 & 5 & 2 & 3 & 2 & 0 \end{pmatrix}$$



例9.3.10 解(续)

$$D^{(4)} = D^{(5)} = D^{(6)} = \begin{pmatrix} 0 & 1 & 3 & 2 & 5 & 5 \\ 1 & 0 & 3 & 3 & 5 & 5 \\ 3 & 3 & 0 & 1 & 2 & 2 \\ 2 & 3 & 1 & 0 & 3 & 3 \\ 5 & 5 & 2 & 3 & 0 & 2 \\ 5 & 5 & 2 & 3 & 2 & 0 \end{pmatrix}$$

故 v_2 到 v_6 的最短通路长度为5，其最短通路为 $v_2v_3v_6$ ，其余类似。

9.4 本章总结

1

主要知识点汇集

2

习题类型

3

解题分析和方法

1、主要知识点汇集

- ① 图的概念：图的定义、图的表示、图的操作、邻接点与邻接边、图的分类等。
- ② 图的基本性质：结点的度数、图的基本定理（握手定理）、图的同构、完全图、补图、子图、真子图、生成子图、导出子图等。
- ③ 通路 with 回路：通路 with 回路、简单（基本）通路 with 简单（基本）回路、通路 with 回路长度、结点间的短程线和距离、可达 with 可达性矩阵。
- ④ 图的连通性：无向连通图 with 连通分支、强（单向、弱）连通图 with 强（单向、弱）分图、利用邻接矩阵和可达性矩阵判断图的连通性。
- ⑤ 图的应用：通讯网络、渡河问题、均分问题、最短通路算法。

2、习题类型

- ① 基本概念题：主要观测点在于图的基本概念、分类与判断；
- ② 判断题：主要观测点在于判定图的连通性；
- ③ 计算题：主要观测点在于结点的度数、连通分支、通路数目等；
- ④ 证明题：主要观测点在于图的同构、结点的度数等的证明

3、解题分析和方法

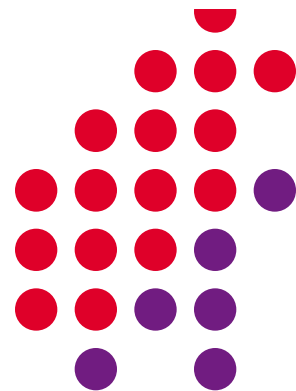
- ① 图的集合、图形、矩阵3种表示方式在同构的意义下是惟一的；
- ② 图的邻接矩阵既描述了图中结点间的邻接关系，还可以利用它来计算结点间的通路数目、判断图的连通性；
- ③ 判断两个图同构，只能依据同构的定义，构造两个结点集之间的双射函数，没有简单的方法；
- ④ 在计算和证明与结点的度数有关的问题时，经常使用握手定理；
- ⑤ 反证法非常有用，特别是在证明惟一性和不存在的时候。



第六次作业（第九章课后习题）

第273—276页：

3	5	8
14	15	21
23	25	27



Thank You !

<http://202.115.21.136:8080/lssx>